

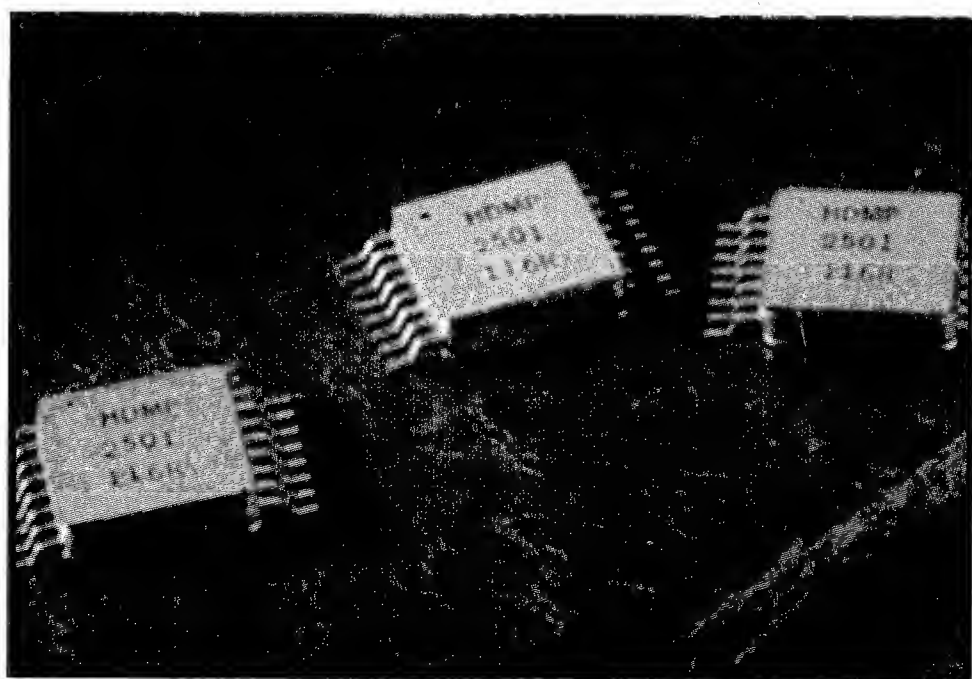
# **Syntezery efektów dźwiękowych UM5000**

# **ELEKTRONIK**

nowy

miesięcznik  
elektroników **8/93**  
**cena 13.900 zł**  
nr ind. 337141

## **Mikroprocesorowy zegar / sterownik (część druga)**



## W NUMERZE

|   |    |
|---|----|
| Elektroniczne strojenie gitary . . . . .                                | 5  |
| Wzmacniacz bez wzmacniaczy . . . . .                                    | 8  |
| Strojenie filtra środkowoprzepustowego z dokładnością do 0.1% . . . . . | 9  |
| Poprawa własności sterujących wzmacniacza operacyjnego . . . . .        | 11 |
| NE 544 – precyzyjny sterownik do serwomechanizmów cz.I . . . . .        | 12 |
| Katalog 74HCxxx . . . . .   | 17 |
| Mikroprocesorowy zegar sterownik cz.II . . . . .                        | 21 |
| Syntezer mowy i efektów dźwiękowych UM5000 . . . . .                    | 24 |
| Przetwornik 1.5V/±1.5V . . . . .  | 28 |
| Katalog tranzystorów produkcji b. ZSRR . . . . .                        | 29 |
| Ogłoszenia . . . . .  | 31 |

**ELEKTRONIK**  
NOWY

Miesięcznik 8/1993 (47)  
Rok czwarty  
Sierpień 1993  
Nakład 40.000 egz.  
Numer zamknięto 22.06.1993  
Cena 1 egz. 13.900 zł  
Nr ind. 367141

Wydawca  
P.W. „ARTCOM”

Adres redakcji:  
82-300 Elbląg, ul. Browarna 85  
skr. poczt. 100  
tel./fax 34-18-84 wew. 32  
tlx 057302

Redagują:  
Dariusz Mickiewicz, Wiesława Oleszczuk,  
Ryszard Świątkowski – red. naczelny

Stali współpracownicy:  
Dariusz Bieńkowski, Jarosław Choma,  
Witold Dąbrowski, Robert Krzysztofek,  
Andrzej Kusiak, Zbigniew Pędzik,  
Sławomir Szczęśniewicz,  
Aleksander Rode, Witold Wrotek

Opracowanie graficzne i DTP  
P.W. „ARTCOM”  
Mariusz Kołtun  
Janusz Mikowicz

Naświetlenia:  
P.P.N.H. „EXPLONAFT” Sp. z o.o.  
01-685 Warszawa, ul. Stachury 4

Druk:  
Grudziądzkie Zakłady Graficzne  
Grudziądz, ul. Droga Mazowiecka 23

Redakcja zastrzega sobie prawo  
dokonywania skrótów oraz adiestacji  
nadesłanych materiałów.

## BLANKIET DLA PRENUMERATORÓW

**Warunki prenumeraty  
czasopism technicznych  
wydawanych przez  
P.W. „ARTCOM”**

1. Przyjęcie – wylączenie na podstawie wpłaty na blankietach wydrukowanych w miesięcznikach: „NOWY ELEKTRONIK”, „ELEKTRONIK HOBBY” i „ŚWIAT PC – TÓW” lub na blankietach bankowych z zaznaczeniem tytułu czasopisma.
2. Dane na blankiecie – dokładny i czytelnie napisany adres zamawiającego.
3. Wpłaty – zgodnie z podanymi cenami, należy dokonać w bankach lub placówkach pocztowych.

Pokwitowanie dla Banku

zł .....  
słownie .....  
wpłacający .....

dokładny adres

Na rachunek:  
**P.W. „ARTCOM”**  
Elbląg, ul. Browarna 85

B.P. PKO oddział w Elblągu  
R-k nr 17516-38276-136

Oplata

zł.....

.....  
podpis przyj.

datownik

Pokwitowanie dla Posiadacza r-ku

zł .....  
słownie .....  
wpłacający .....

dokładny adres

Na rachunek:  
**P.W. „ARTCOM”**  
Elbląg, ul. Browarna 85

B.P. PKO oddział w Elblągu  
R-k nr 17516-38276-136

Oplata

zł.....

.....  
podpis przyj.

datownik

Pokwitowanie dla Wpłacającego

zł .....  
słownie .....  
wpłacający .....

dokładny adres

Na rachunek:  
**P.W. „ARTCOM”**  
Elbląg, ul. Browarna 85

B.P. PKO oddział w Elblągu  
R-k nr 17516-38276-136

Oplata

zł.....

.....  
podpis przyj.

datownik

# Elektroniczne strojenie gitary

Układ opisany poniżej umożliwia precyzyjne nastrojenie gitary. Znamcy jednak twierdzą, że nic nie zastąpi dobrego ucha. Elektroniczny stroik przeznaczony jest przede wszystkim do strojenia gitar akustycznych zaopatrzonych w przystawkę. Jeśli jednak gitara takiej przystawki nie posiada to można wykorzystać dobry, czuły mikrofon. Przy strojeniu gitar elektrycznych konieczne jest ustawienie przystawki w takie położenie, aby sygnał zawierał jak najmniej harmonicznych. Zasilanie układu stanowią dwie płaskie baterie. Dobrze zestrojenie poszczególnych strun sygnalizuje sześć diod świecących, przy czym strojenie to można bardziej ułatwić przełączeniem układu na mniejszą zdolność rozdzielczą (zwiększa się szerokość pasma częstotliwości).

Układ pracuje na zasadzie pomiaru długości okresu fali wytwarzanej przez strunę licznikiem i oceny powierzonej wartości przez układ logiczny.

Do budowy nie zostały wykorzystane układy CMOS, ponieważ układy TTL są o wiele tańsze, a ich energochłonność jest kompensowana tutaj krótkimi czasami eksploatacji urządzenia. Jeden cykl pracy trwa zwykle kilka minut, a urządzenie może pracować w zakresie od 5.6÷9V przy poborze prądu 0.3A. Strojenie strun to E6, A5, D4, G3, H2, E1. Dokładność strojenia waha się od 0.2% przy najniższym tonie do 0.7% przy najwyższym tonie.

## Opis działania

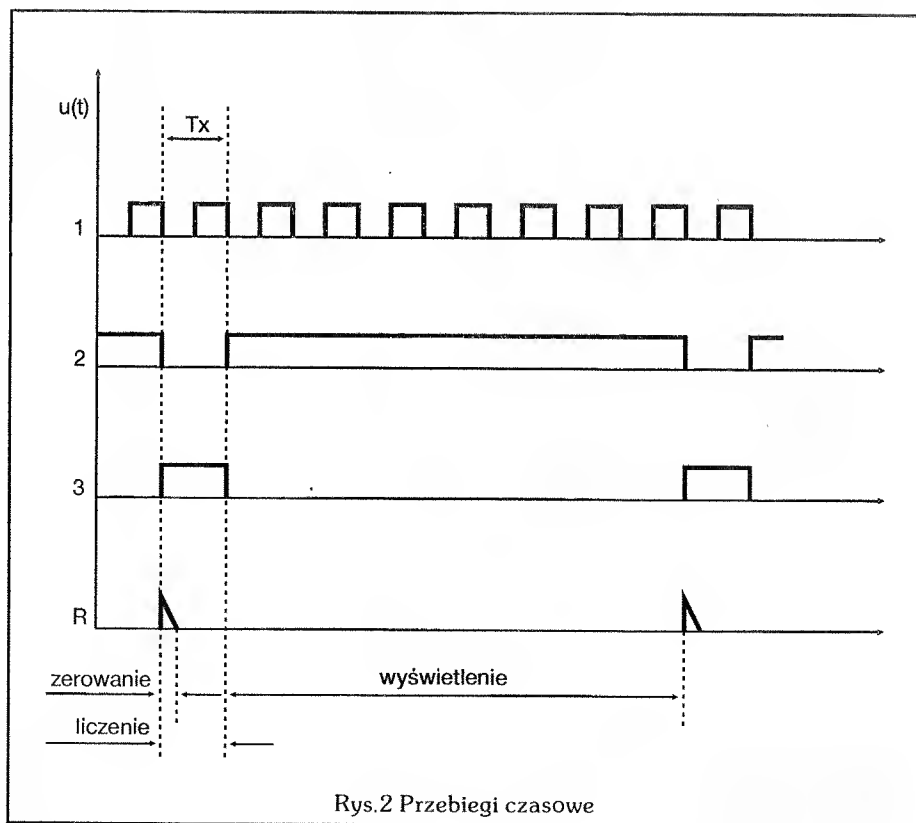
Sygnał z przystawki gitarowej jest wzmacniany przez tranzystory T1, T2, a następnie kształtowany przez przerzutnik Schmitta z tranzystorami T3 i T4. T5 spełnia rolę translatora poziomów dla układu TTL. Kondensator C2 ogranicza przenoszenie wyższych harmonicznych, a C3 zabezpiecza wzma-

niacz przed wzbudzeniem. Z kolektora tranzystora T5 sygnał idzie do sterującej części logicznej utworzonej przez trzy bramki IO10 i licznik dziesiętny IO13. Przebiegi czasowe dla układu są pokazane na Rys.2.

To rozwiązanie pozwala wyeliminować trzy układy typu 7475. W dalszej kolejności sygnał przechodzi do licznika utworzonego z obwodów IO1, IO2 i IO3. Stan wyjściowy poszczególnych dekad jest zamieniany z kodu BCD na kod 1 z

kadzie (tj. większe niż 100 i mniejsze niż 1000) i nie był potrzebny następny licznik lub przełącznik dla poszczególnych strun. Częstotliwość wzorcowa wynosi tutaj 50kHz.

Liczniki IO1 ÷ IO3 są zerowane na początku liczenia bardzo krótkim impulsem (ok. 300ns) wytworzonym przez układ C7 i R17. Bramki IO9 oraz jedna bramka z IO10 umożliwiają ocenę stanu tylko dwóch najwyższych miejsc (przełącznik S1 w położeniu "zgrubnie"



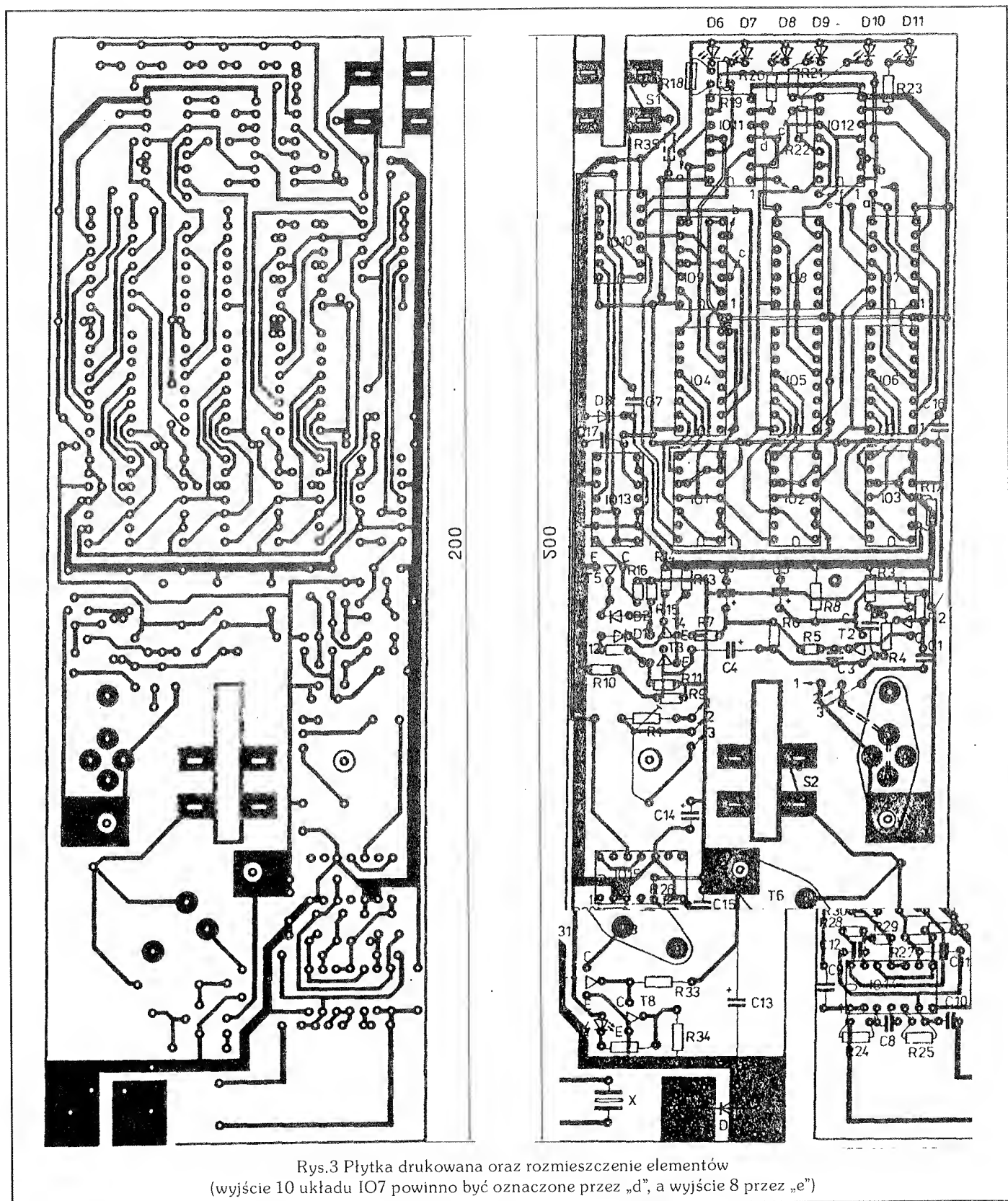
Rys.2 Przebiegi czasowe

10 dekadami IO4 ÷ IO6. Negowany jest w układach IO7, IO8, IO9 oraz jedną bramką IO10. Wyjścia tych układów sterują układami IO11 i IO12. Poszczególnym stanom E, A, D, G, H, E odpowiadają następujące stany licznika: 607, 454, 341, 255, 202, 152 (podwójne wartości okresów: 6.07ms, 4.54ms, 3.41ms, 2.55ms, 2.02ms i 1.52ms). Podwójne okresy stosuje się po to, aby ich wartości były zawarte w jednej de-

tj. zwarty) przez co mogą ułatwić początek strojenia.

Częstotliwość wzorcowa jest uzyskiwana z układu IO14 sterowanego rezonatorem kwarcowym oraz dzielnika IO15. Dwie bramki tworzą oscylator, a pozostałe dwie przerzutnik RS, który jest dzielnikiem częstotliwości.

Jako stabilizator napięcia 5V dla układów TTL pracują tranzystory T6, T7 i T8. Odpada tutaj zastoso-



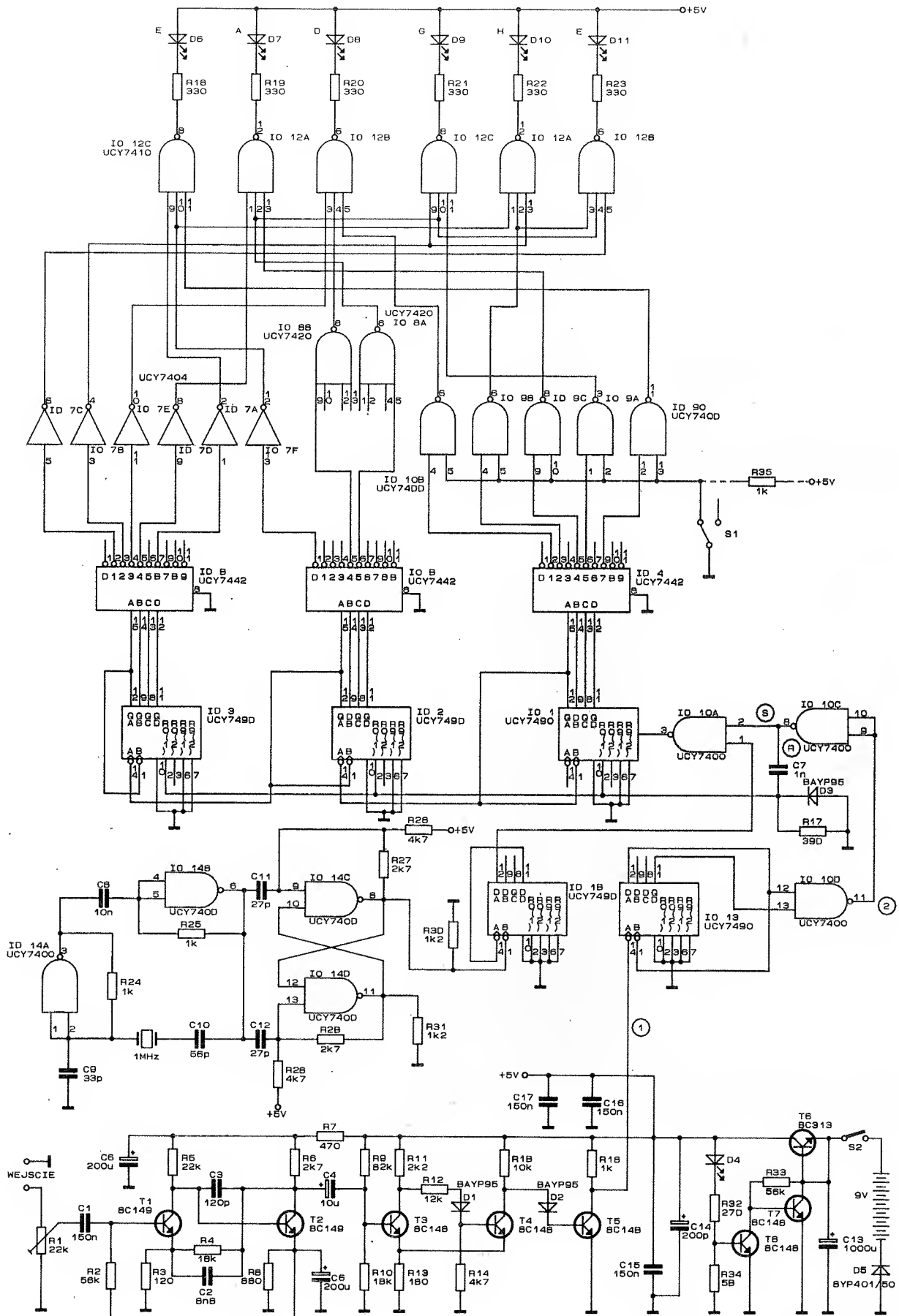
Rys.3 Płytką drukowaną oraz rozmieszczenie elementów  
(wyjście 10 układu IO7 powinno być oznaczone przez „d”, a wyjście 8 przez „e”)

wanie układu np. LM7805, ponieważ dla prawidłowej stabilizacji potrzebuje on napięcia 7V. Stabilizator zbudowany przy użyciu elementów dyskretnych ma mniejsze wymagania. Dioda D4 polepsza współczynnik stabilizacji i jednocześnie służy jako kontrola załą-

czenia układu, natomiast D5 zabezpiecza go przed przypadkowym, odwrotnym włączeniem źródła zasilania. Obwód drukowany wraz z rozmieszczeniem elementów jest pokazany na Rys.3.

## Uruchomienie

Najwygodniej jest najpierw uruchomić stabilizator (tymczasem układ bez D5) sprawdzając napięcie wyjściowe przy obciążeniu rezystorem 20Ω. Napięcie to musi wynosić 5V przy zasilaniu 8V. Przy



Rys.1 Elektroniczny stroiciel gitary



napięciu wejściowym 9.5V (napięcie nowych baterii) może nieznacznie przekroczyć 5.3V, a przy 5.1V spadnie na wyjściu do 4.75V. Jego wielkość można ustawić (jeśli napięcie waha się poza ustalonymi granicami) zmianą rezystora R34. Natomiast po zmianie obciążenia na 10Ω możemy się przekonać, że napięcie wyjściowe zmienia się nieznacznie o 0.1V w stosunku do obciążenia rezystorem 20Ω. Przy znacznie większym spadku należy zmniejszyć wielkość rezystora R33.

Po sprawdzeniu działania stabilizatora można przystąpić do montażu części cyfrowej (przed wlutowaniem układów należy wlutować zwory) włączając z diodami świecącymi. Oscyloskopem możemy sprawdzić sygnał 50kHz na wyjściu układu IO15 (końcówka 12). Jeśli mamy do dyspozycji przestrajany generator z wyjściem TTL, to możemy sprawdzić poprawność działania przyrządu. Wyjście generatora łączymy z wyprowadzeniem 14 układu IO13. Pojedyncze diody powinny zapalać się przy następujących częstotliwościach:

|        |   |     |
|--------|---|-----|
| 82.4Hz | → | D6  |
| 110Hz  | → | D7  |
| 147Hz  | → | D8  |
| 196Hz  | → | D9  |
| 247Hz  | → | D10 |
| 330Hz  | → | D11 |

Po zamontowaniu wejściowego wzmacniacza oraz układu kształtującego przyrząd gotowy jest w zasadzie do pracy.

Czułość wejściowa jest ustalana potencjometrem R1 odpowiednio do czułości przystawki gitarowej. Zbyt wielka czułość powoduje przypadkowe zapalanie diod, a przy małej nie będą się zapalać wcale.

Przy pierwszym strojeniu przy-

rząd należy ustawić w położeniu "zgrubnie". Poprawne zestrojenie to sytuacja, gdy odpowiednia dioda świeci na trwałe do momentu gdy, nie drgnie inna struna. W położeniu przełącznika S1, dokładnie trudno jest doprowadzić do trwałego zaświecenia diody. Najczęściej przy prawidłowym zestrojeniu dioda tylko pomrukuje. Dzieje się tak dlatego, że sygnał z przystawki nie ma czysto sinusoidalnego przebiegu oraz jest amplitudowo i częstotliwościowo niestabilny. Przy sprawdzaniu funkcji generatorem małej częstotliwości dioda będzie świecić ciągle nawet w tym położeniu, przy czym również nie będzie to zależne w szerokim zakresie od ustawianej czułości. Jest zatem wskazane wypróbować urządzenie najpierw z generatorem.

Generator należy przestrajac powoli i ostrożnie, ponieważ właściwą częstotliwość bardzo łatwo przeskoczyć.

### Spis elementów:

#### Rezystory (0.25W)

|                             |       |
|-----------------------------|-------|
| R1 (potencjometr montażowy) | 22kΩ  |
| R2, R33                     | 56kΩ  |
| R3                          | 120Ω  |
| R4, R10                     | 18kΩ  |
| R5                          | 22kΩ  |
| R6, R27, R29                | 2.7kΩ |
| R7                          | 470Ω  |
| R8                          | 680Ω  |
| R9                          | 82kΩ  |
| R11                         | 2.2kΩ |
| R12                         | 12kΩ  |
| R13                         | 180Ω  |
| R14, R26, R28               | 4.7kΩ |
| R15                         | 10kΩ  |
| R16, R24, R25, R35          | 1kΩ   |
| R17                         | 390Ω  |
| R18 + R23                   | 330Ω  |

|          |       |
|----------|-------|
| R30, R31 | 1.2kΩ |
| R32      | 270Ω  |
| R34      | 56Ω   |

#### Kondensatory

|               |                  |
|---------------|------------------|
| C1, C15 + C17 | 0.15μF           |
| C2            | 6.8nF            |
| C3            | 120pF            |
| C4            | 10μF             |
| C5, C6, C14   | 220μF<br>(200μF) |
| C7            | 1nF              |
| C8            | 10nF             |
| C9            | 33pF             |
| C10           | 56pF             |
| C11, C12      | 27pF             |
| C13           | 1000μF           |

#### Półprzewodniki

|                 |                         |
|-----------------|-------------------------|
| IO1 + IO3, IO13 | UCY 7490                |
| IO15            |                         |
| IO4 + IO6       | UCY 7442                |
| IO7             | UCY 7404                |
| IO8             | UCY 7420<br>(UCY 7404)  |
| IO9, IO10, IO14 | UCY 7400                |
| IO11, IO12      | UCY 7410                |
| T1, T2          | BC 149<br>(KC 149)      |
| T3 + T5, T7, T8 | BC 148<br>(KC 148)      |
| T6              | BC 313                  |
| D1 + D3         | BAYP 95                 |
| D4, D6 + D11    | każda dioda<br>świecąca |
| D5              | BYP 401/50              |

#### Pozostałe

|        |             |
|--------|-------------|
| x      | kwarc 1MHz  |
| S1, S2 | przełącznik |

Witold Dąbrowski

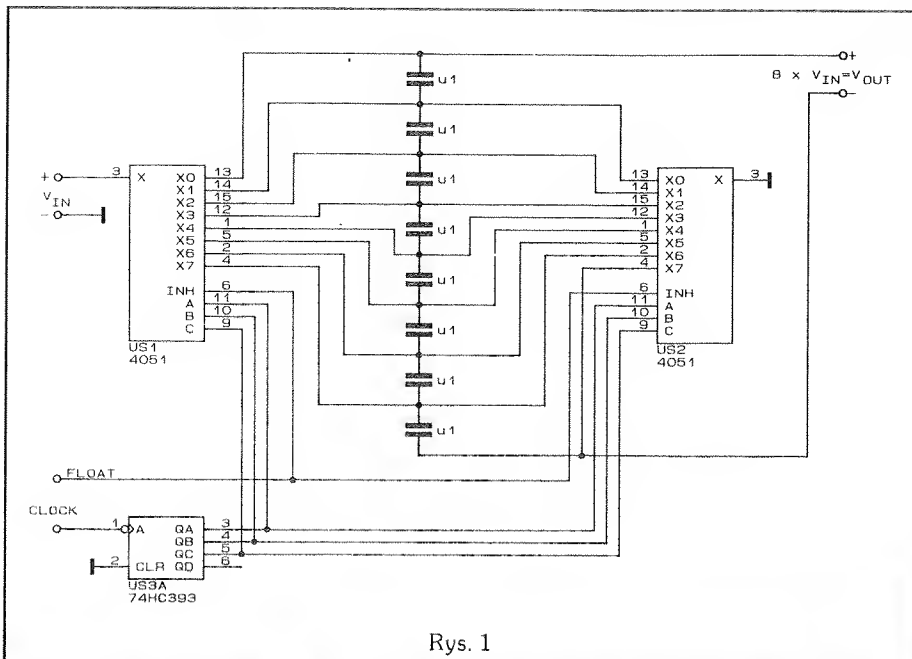
Opracowano na podstawie:  
AR A/2/89

## Wzmacniacz bez wzmacniaczy

Obwód z rys.1 wzmacnia sygnał DC używając przełączniki i kondensatory magazynujące. Układ ma ustalone wzmocnienie 8 i

uśrednia sygnał wejściowy w czasie ośmiu okresów przebiegu. 400-Hz zegar steruje dzielnik US3. Wyjścia dzielnika wybierają posz-

czególne kondensatory do ładowania z wejścia poprzez klucze analogowe US1 i US2. US1 łączy sekwencyjnie wejście z każdym z "wi-



Rys. 1

szących" kondensatorem, natomiast US2 zamyka obwód ładowania danego kondensatora. Oba kłucze analogowe są zablokowane, gdy wejście INH jest w stanie niskim. W tym momencie napięcie na ośmiu szeregowych kondensatorach jest równe ośmiokrotnej średniej wartości napięcia wejściowego. Napięcie wyjściowe można rejestrować sondą lub wzmacniaczem z różnicowym wejściem. Częstotliwość zegara nie jest krytyczna.

Robert Krzysztofek

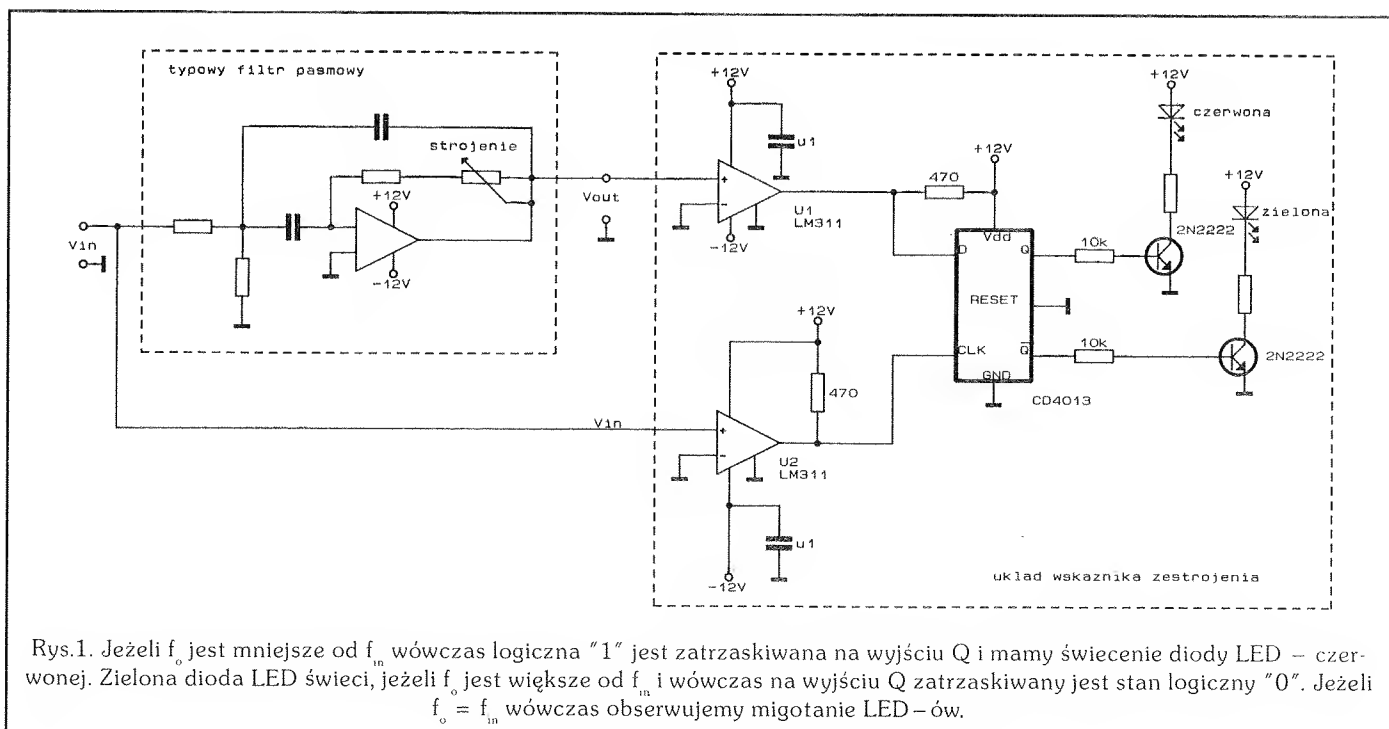
wg EDN 9/92

## Strojenie filtru środkowoprzepustowego z dokładnością do 0,1%

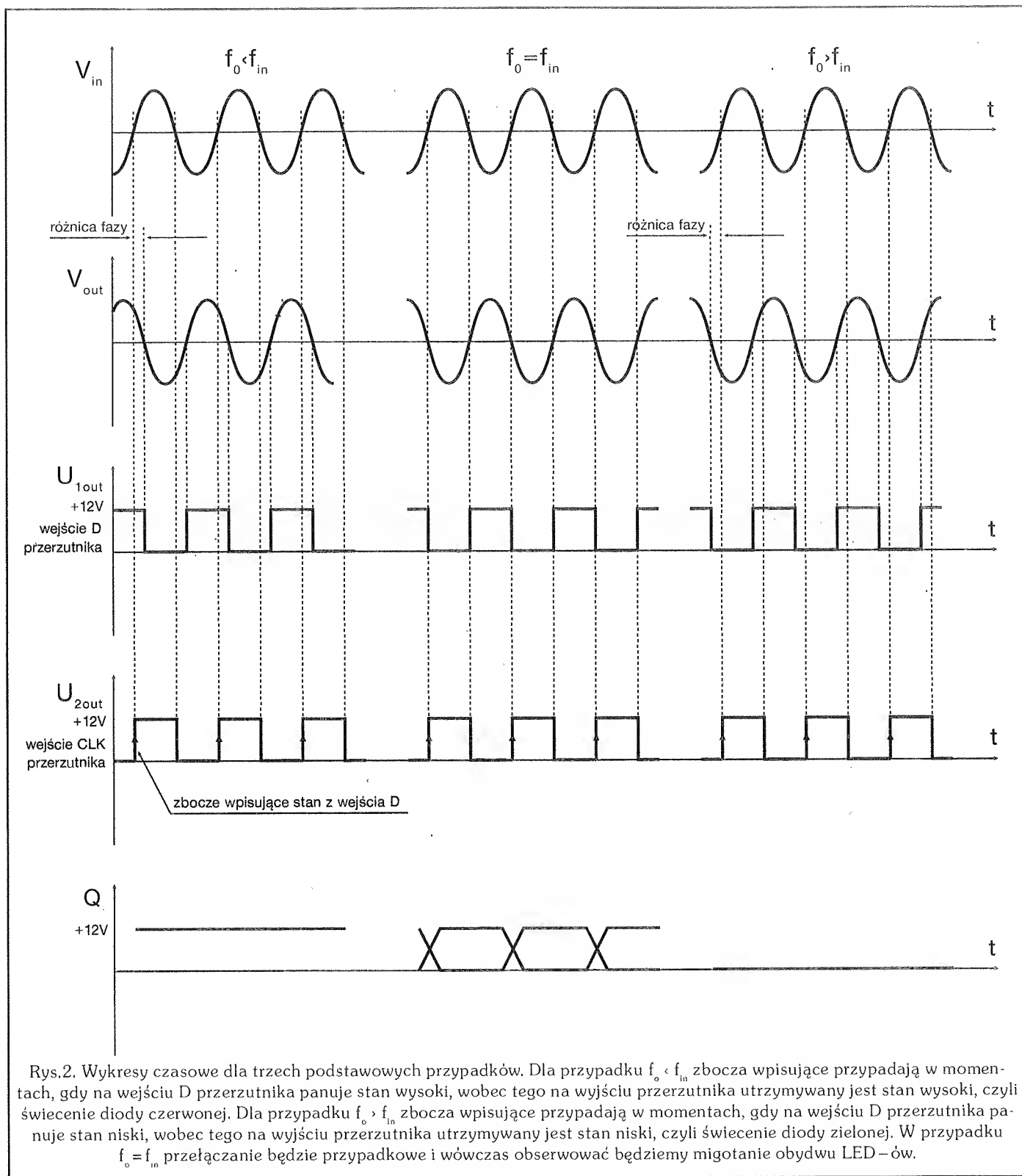
W praktyce amatorskiej nie mamy do dyspozycji specjalistycznych przyrządów, za pomocą których możemy w sposób jednoznaczny z dużą dokładnością dokonać strojenia filtru pasmowego.

Wyznaczenie częstotliwości środkowej takiego filtru określanej dalej jako  $f_0$  jest niewątpliwie sprawą uciążliwą i może przysparzać bardzo wiele problemów. Przedstawiony poniżej układ może z dość dużą

dokładnością (około 0.1%) pomóc nam w określeniu i ustawieniu częstotliwości środkowej  $f_0$  dla filtru pasmowego.



Rys.1. Jeżeli  $f_0$  jest mniejsze od  $f_{in}$  wówczas logiczna "1" jest zatraskiwana na wyjściu Q i mamy świecenie diody LED – czerwonej. Zielona dioda LED świeci, jeżeli  $f_0$  jest większe od  $f_{in}$  i wówczas na wyjściu Q zatraskiwany jest stan logiczny "0". Jeżeli  $f_0 = f_{in}$  wówczas obserwujemy migotanie LED-ów.



Rys.2. Wykresy czasowe dla trzech podstawowych przypadków. Dla przypadku  $f_0 < f_{in}$  zbocza wpisujące przypadają w momentach, gdy na wejściu D przerzutnika panuje stan wysoki, wobec tego na wyjściu przerzutnika utrzymywany jest stan wysoki, czyli świecenie diody czerwonej. Dla przypadku  $f_0 > f_{in}$  zbocza wpisujące przypadają w momentach, gdy na wejściu D przerzutnika panuje stan niski, wobec tego na wyjściu przerzutnika utrzymywany jest stan niski, czyli świecenie diody zielonej. W przypadku  $f_0 = f_{in}$  przełączanie będzie przypadkowe i wówczas obserwować będziemy migotanie obydwu LED-ów.

## Opis układu

Układ ten pozwala szybko i jednoznacznie określić częstotliwość środkową filtra  $f_0$ . W tym bardzo prostym obwodzie przedstawionym na Rys.1 za pomocą optycznego wskaźnika opartego o dwie diody LED – czerwoną i zieloną można określić stan zestrojenia filtra. Je-

żeli częstotliwość środkowa filtra  $f_0$  jest aktualnie większa od częstotliwości  $f_{in}$  wówczas świeci dioda zielona. Jeżeli natomiast częstotliwość środkowa filtra  $f_0$  jest aktualnie mniejsza od częstotliwości  $f_{in}$  wówczas gaśnie dioda zielona i zapala się dioda czerwona. Jeżeli natomiast zbliżymy się do momentu zestrojenia czyli  $f_0 = f_{in}$  wówczas

diody sterowane są w sposób przypadkowy, co w efekcie obserwujemy jako migotanie LED-ów. Takie wskazania zestrojenia jest podstawą do określenia stosunku  $f_0$  do  $f_{in}$ .

Komparatory U1 i U2 (na Rys.1 LM 311) zamieniają przebiegi sinusoidalne odpowiednio z wejść  $V_{out}$  i  $V_{in}$  w kompatybilny z poziomami CMOS przebieg prostokątny. Są to



odpowiednio sygnały, które sterują wejściami D i CLK przerzutnika D 4013. Przerzutnik D(4013) zatrzaskuje poziomy logiczne z wyjścia komparatora U1, które istnieją w momentach narastających zboczy przychodzących z wyjścia komparatora U2 (które sterują wejściem zegarowym przerzutnika D – sytuacja te obrazują przebiegi czasowe przedstawione na Rys. 2). Układ ten był testowany z filtrami pasmowymi z różnymi częstotliwościami środkowymi aż do 128kHz i wskazania zestrojenia okazywały się zawsze lepsze od 0.1%. Wskazania zestrojenia są poprawne dla wszy-

skich sinusoidalnych wejściowych częstotliwości.

Pomimo, że wskazania dla wejściowych przebiegów prostokątnych i trójkątnych są niepoprawne dla kilku cykli wokół składowych podharmonicznych  $f_o$ , to jednak wskazania zestrojenia są z dokładnością lepszą od 0.1% przy częstotliwości  $f_o$ .

Wskutek tego ten układ może być użyteczny jako wskaźnik zestrojenia filtrów, które zamieniają przebiegi prostokątne lub trójkątne w przebieg sinusoidalny.

Zachowanie się diod LED opisać powyżej dotyczy filtru, który od-

wraca fazę pomiędzy swoim wejściem a wyjściem ( $V_{in}/V_{out}$  – jak na Rys.1 i Rys.2). Dla filtru, który nie odwraca fazy LED-y należy zamienić (lub mieć na uwadze, że wskazania będą przeciwstawne do opisanych powyżej tzn.  $f_o < f_{in}$  – świeci dioda zielona,  $f_o > f_{in}$  – świeci dioda czerwona, dla  $f_o = f_{in}$  nic nie ulega zmianie).

Aleksander Rode

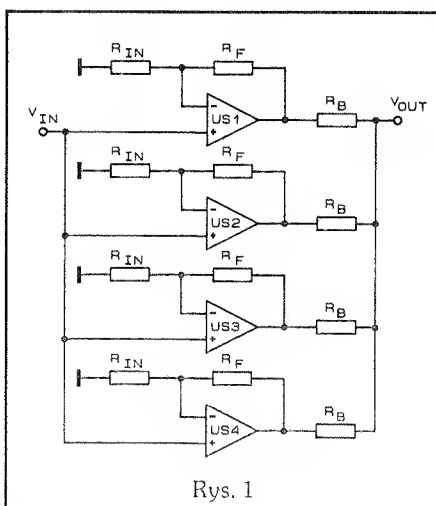
Opracowano na podstawie:  
Electronic Design 19/90

## Poprawa własności sterujących wzmacniacza operacyjnego

Łącząc równolegle wzmacniacze operacyjne można zwiększyć ich zdolnościysterowania obciążenia i redukcji szumów napięciowych przy utrzymaniu niskiej impedancji wyjściowej. Rys.1 przedstawia klasyczny układ wzmacniacza ("stosowy"). Zmniejsza on o połowę szumy i czterokrotnie zwiększa dopuszczalne obciążenie. Jednakże wykazuje oczywiste słabości:

- \* trzeba ustawić poprawnie wzmocnienie każdego ze wzmacniaczy oraz dodać rezystor obciążający na każdym wyjściu
- \* zakres wejściowy jest ograniczony z powodu nieodłącznego napięcia niezrównoważenia każdego ze wzmacniaczy
- \* impedancja wyjściowa musi być wysoka, aby zabezpieczyć każdy wzmacniacz przed zwarcie obwodu.

Układ z Rys.2 natomiast przedstawia wzmacniacze połączone równolegle. Obwód ma szumy o połowę mniejsze od pojedynczego wzmacniacza, czterokrotnie większą obciążalność, redukuje liczbę rezystorów z 12 do 3 i ma pole wzmocnienia 1GHz. Chociaż topo-



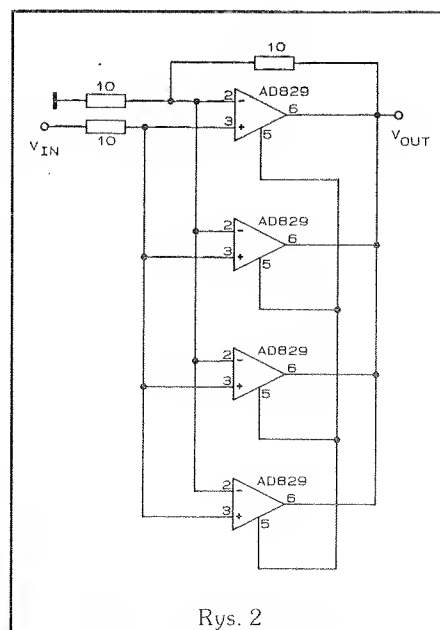
Rys. 1

logia obwodu nadaje się dla wszystkich wzmacniaczy o zewnętrznej kompensacji, to szczególnie przydatna jest w zastosowaniach video. Zwiększenie obciążalności obwodu następuje przez równoległe połączenie wyjść wzmacniaczy. By zrozumieć w jaki sposób zredukowane są szumy, trzeba założyć, że napięcie szumów względem wejścia każdego ze wzmacniaczy wynosi  $V_{N1}$ ,  $V_{N2}$ ,  $V_{N3}$  i  $V_{N4}$ , zaś całkowite  $V_N$ . Ponieważ łączone są wejścia odwracające z odwracającymi, nieodwracające z nieodwracającymi oraz

węzły wysokiej impedancji (pin 5), to

$$\Sigma(V_N - V_{N1})g_m = 0 \text{ lub } V_N = 1/4 \Sigma V_{N1}$$

Ale ponieważ napięcia szumów poszczególnych wzmacniaczy są nieskorelowane i gęstość widmowa szumów każdego wzmacniacza jest taka sama, to



Rys. 2

$$V_N = 1/4\sqrt{4V_{N1}^2} \text{ lub } V_N = 1/2V_{N1}$$

Wynik ten pokazuje, że wszystkie nieskorelowane parametry, ta-

kie jak wejściowe napięcie niezrównoważenia, dryf napięcia niezrównoważenia, CMRR i PSRR będą także zbliżyć się do swojej wartości średniej redukując wpływ zmien-

ności układów.

Robert Krzysztofek

wg EDN 9/92

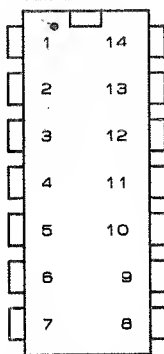
## NE 544 – Precyzyjny sterownik do serwomechanizmów cz.I

(Artykuł nawiązuje do zamieszczonego w nr 5, 7/92 i 1/93 EH opisu cyfrowego systemu zdalnego sterowania LM1871/1872)

Układ zaprojektowano z przeznaczeniem do zastosowania w końcowych zespołach wykonawczych, cyfrowych systemów sterowania proporcjonalnego. Może być również stosowany w robotyce i innych precyzyjnych układach elektromechanicznych, wymagających ścisłej kontroli położenia. Szczególna właściwość prezentowanego sterownika (liniowość), o której będzie mowa w dalszej części, umożliwia realizację dwuprzewodowych łączy, pozwalających na przekazanie informacji położenia kąowego dlaysterowania przyrządów kontrol-

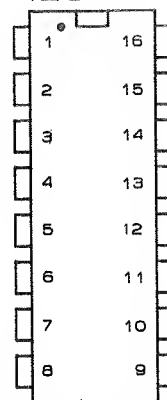
### Typy obudów

NE544N



Typ obudowy : DIP-14  
Maksymalny prąd obciążenia  $I_o=500\text{mA}$

NE544D



Typ obudowy : SOL-16  
Maksymalny prąd obciążenia  $I_o=400\text{mA}$

### Stałoprądowa charakterystyka elektryczna NE 544

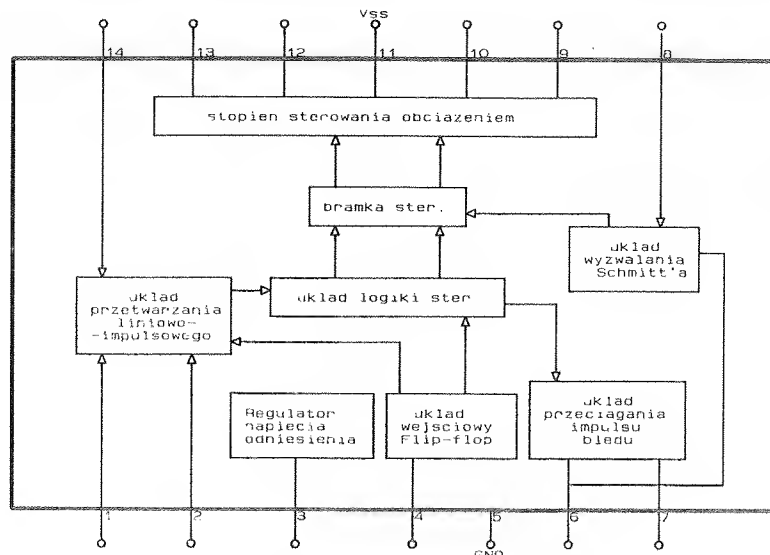
$T_o = 25^\circ\text{C}$ ,  $V_c = 4.8\text{V}$ , zalecana wartość elementów zewnętrznych

| Oznaczenia       | Parametr   | Warunki pomiaru                  | Limit |      |     | Jednostka           |
|------------------|--|----------------------------------|-------|------|-----|---------------------|
|                  |  |                                  | min   | typ  | max |                     |
| $V_{CC}$         | Napięcie zasilające                                  | Spoczynkowo                      | 3.2   | 4.8  | 6.0 | V                   |
| $I_{CC}$         | Prąd zasilający                                      |                                  | 4.2   | 5.5  | 10  | mA                  |
| $V_{TH}$         | Próg wyzwalania wejścia (wypr. 4)                    |                                  |       |      |     |                     |
|                  | H  | —                                | —     | 1.5  | —   | V                   |
|                  | L  | —                                | —     | 1.4  | —   | V                   |
| $Z_{IN}$         | Rezystancja wejściowa (wypr. 4)                      | —                                | —     | 18   | —   | k $\Omega$          |
| $V_{OH}$         | Napięcie wyjściowe.                                  |                                  |       |      |     |                     |
|                  | Stany: Wysoki  | Wypr. 9 lub 13,                  | —     | 0.3, | —   | V                   |
| $V_{OL}$         | Niski  | $I_{OBC} = 400\text{mA}$         | —     | 3.9  | —   | V                   |
| $V_{REG}$        | Napięcie odniesienia (wypr. 3)                       | —                                | 2.1   | 2.5  | 2.9 | V                   |
| $\Delta V_{REG}$ | Stabilność $V_{REG}$                                 | $3.9 \leq V_{CC} \leq 6\text{V}$ | —     | 10   | —   | mV/V                |
| $t_{OB\ min}$    | Strefa martwa $\rightarrow$ min.                     | $R_{DB} = 0$ (wypr. 7)           | —     | 1    | —   | $\mu\text{s}$       |
| —                | Stabilność identyfikacji szerokości imp. wejściowego | —                                | —     | 0.01 | —   | %/ $^\circ\text{C}$ |
| —                | Spoczynkowe napięcie wyjściowe                       | (wypr. 9 lub 13)                 | —     | 2.5  | —   | V                   |
| —                | Prąd sterowania zewnętrznymi tranzystorów PNP        | (wypr. 10 i 12)                  | —     | 20   | —   | mA                  |

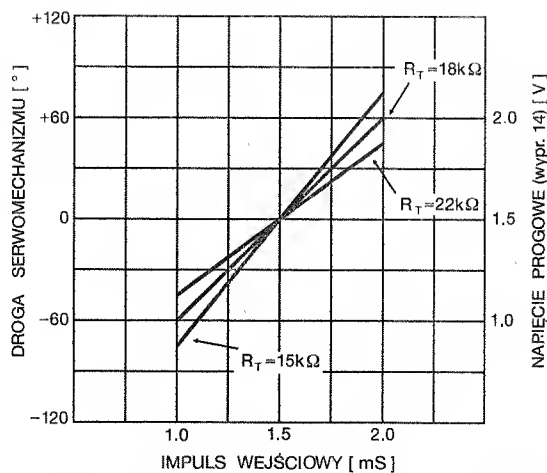
no-pomiarowych. Oto charakterystyczne cechy NE544:

- \* Możliwość bezpośredniego sterowania obciążenia prądem do 500mA.
- \* Możliwość dwukierunkowego sterowania obciążeniem przy pojedynczym (asymetrycznym) sposobie zasilania.
- \* Mała wartość spoczynkowego prądu zasilającego.
- \* Możliwość regulacji strefy martwej (niewrażliwości) i progu wyzwalań.
- \* Duża liniowość sterowania, 0.5% w całym zakresie obrotu.
- \* Wyjścia sterujące do zewnętrznych dodatkowych tranzystorów PNP.
- \* Szeroki zakres napięć zasilających.

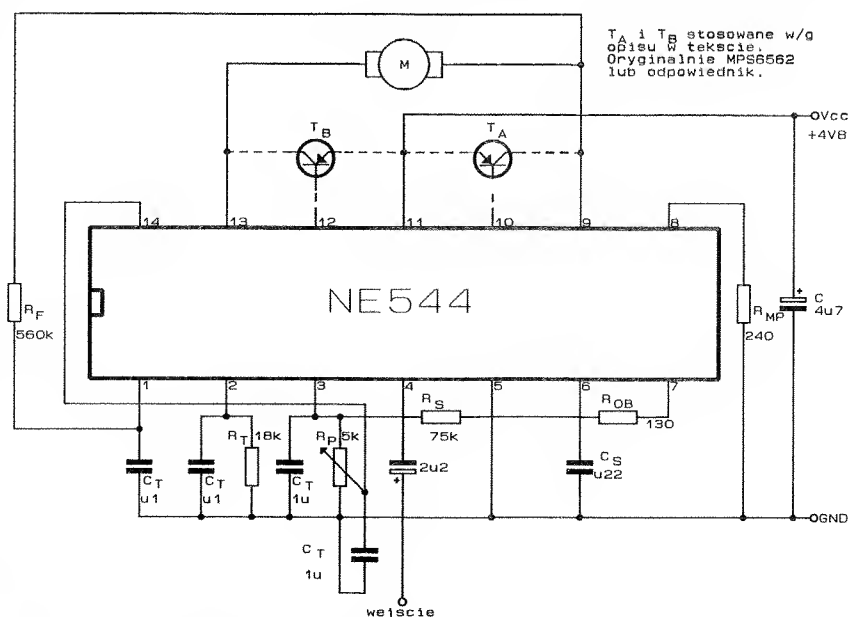
NE 544 jest nowoczesnym serwo-wzmacniaczem pracującym z sygnałem wejściowym o postaci standardowej dla większości systemów wielokanałowego sterowania proporcjonalnego (np. para układów LM1871/LM1872). Sygnał pochodzący z właściwego wyjścia kanału proporcjonalnego odbiornika jest (w trybie pracy) ciągiem impulsów, których szerokość jest nośnikiem zadanej informacji analogowej. Znormalizowane zmiany szerokości impulsu wynoszą od 1ms do 2ms. W zależności od sposobu wykorzystania tej informacji, może to odpowiadać krańcowym wartościom sterowanego parametru, lub w konkretnym przypadku serwo-mechanizmu skrajnym położeniom układu wykonawczego. Zgodnie z charakterystyką (Rys.2) impuls wejściowy  $t_i = 1.5\text{ms}$  oznacza zadanie zerowe, czyli środkowe położenie serwo-mechanizmu. Ustalenie tego punktu przy uruchamianiu układu sterownika wymaga dopasowania sprzężenia mechanicznego między osią układu wykonawczego, a osią potencjometru sprzężenia zwrotnego  $R_p$ . Warto przy tej okazji docenić wysoką stabilność detektora szerokości impulsów wejściowych wynoszącą  $0.01\%/^{\circ}\text{C}$ , co zapewnia dużą precyzję interpretacji sygnału zadanego przez system sterujący. Układ NE 544 może funkcjonować w jednym z dwóch różnych trybów pracy, odpowiadających kształtom charakterystyk przenoszenia układu.



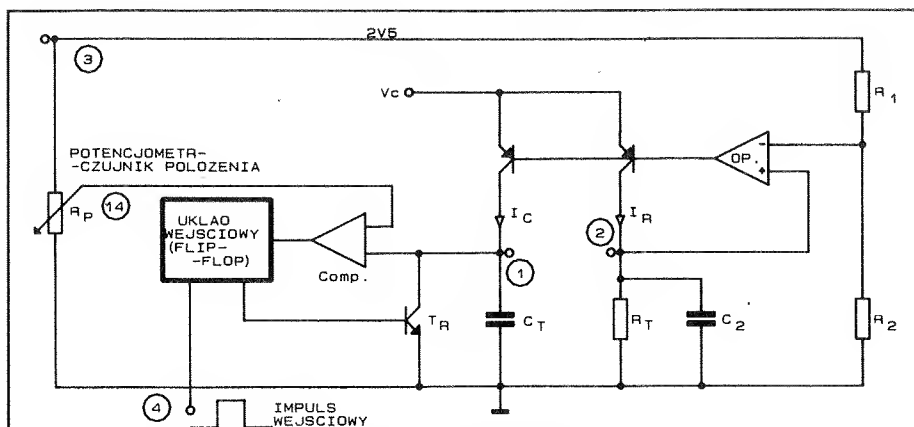
Rys.1 Schemat blokowy NE 544



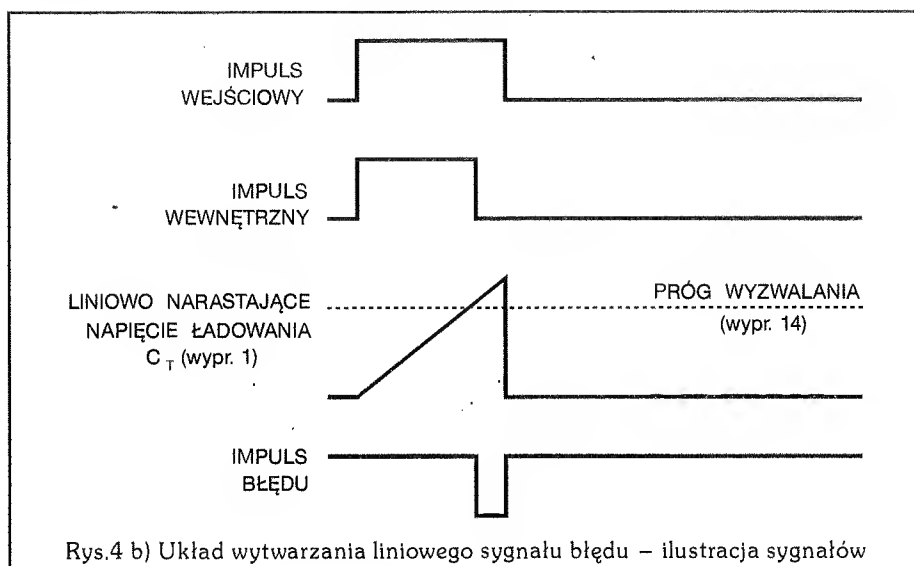
Rys.2 Zależność położenia serwo-mechanizmu oraz napięcia  $V_{14}$  od szerokości impulsu wejściowego dla 3 wartości  $R_T$



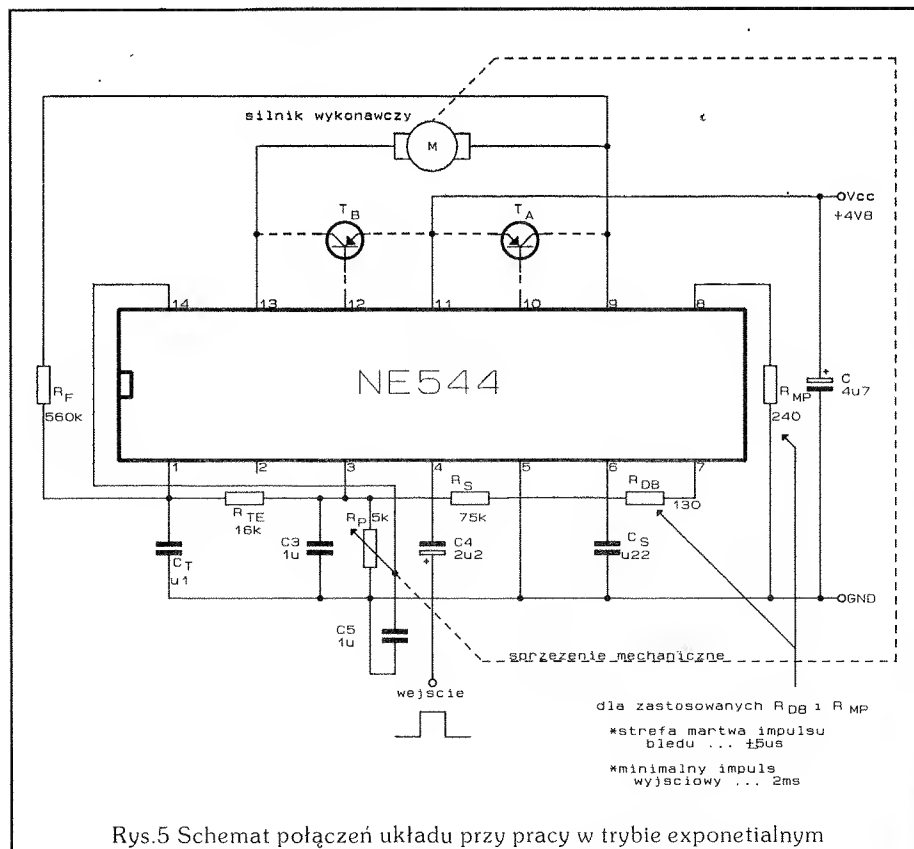
Rys.3 Schemat połączeń układu pracy w trybie liniowym



Rys.4 a) Układ wytwarzania liniowego sygnału błędu – uproszczony fragment układu NE 544



Rys.4 b) Układ wytwarzania liniowego sygnału błędu – ilustracja sygnałów



Rys.5 Schemat połączeń układu przy pracy w trybie eksponetialnym

## Tryb.1 Wyzwalane impulsowo sterowanie liniowe

W odróżnieniu od konwencjonalnych sterowników serwomechanizmu, które wyzwalane impulsami  $\pm \Delta t$  realizują funkcję exponentialną, układ NE 544 w tym przypadku może realizować liniowe przetwarzanie sygnału wejściowego. Ten sposób pracy zapewnia aplikacja zgodna z Rys.3. Liniowa zależność sygnału wyjściowego od informacji zawartej w sygnale sterującym, pozwala na bardzo dokładne odwzorowanie zależności między położeniem serwomechanizmu, a szerokością impulsu wejściowego i to w całym zakresie pracy zespołu. Na Rys.4a przedstawiony został uproszczony fragment struktury NE 544, odpowiedzialny za podstawowy etap przetwarzania przy realizacji omawianego trybu pracy.

### Działanie układu:

Początek cyklu sterowania następuje z przyjściem impulsu wejściowego (Rys.4 b). Impuls ustawia przerzutnik Flip-flop w stan umożliwiający uwolnienie tranzystora kasującego  $T_R$ . Od tej chwili rozpoczyna się proces ładowania kondensatora  $C_T$ . Kontrolowana wartość prądu  $I_{CT}$  zapewnia liniowy sposób ładowania w czasie. Regulowane źródło prądowe zostało zrealizowane z zastosowaniem wzmacniacza operacyjnego i dodatkowej gałęzi sprzężenia zwrotnego z obwodem  $R_T, C_2$ . Rezystor  $R_T$  jest elementem modyfikującym czas ładowania. Wzmacniacz operacyjny pracuje w układzie liniowego konwertera napięcie/prąd. Prąd płynący w gałęzi  $R_T, C_2$  ( $I_{RT}$ ) jest odwzorowywany w obwodzie ładowania  $C_T$ . Wejście odwracające jest polaryzowane z dzielnika  $R_1, R_2$  zasilanego ze źródła napięcia odniesienia. Dla napięcia wejścia (-) wynoszącego 1.8V, prąd gałęzi sprzężenia możemy określić z zależności:

$$I_{RT} = \frac{1.8V}{R_1} = I_{CT}$$

Punktem kulminacyjnym okresu wyzwalania, jest chwila osiągnięcia przez liniowo narastające napięcie

$U_{GT}$  (wypr. 1) progu wyzwalania komparatora (wypr. 14). Wysokość tego progu wynika z położenia potencjometru kontroli położenia  $R_p$  i wpływa na czas trwania wytworzonego w układzie "impulsu wewnętrznego". Zmiana stanu przerzutnika Flip-flop nastąpi jednak dopiero w momencie zakończenia impulsu wejściowego. Spowoduje to zamknięcie tranzystora  $T_R$  i rozładowanie  $C_T$ , co stanowi zakończenie cyklu przetwarzania sygnału wejściowego. Różnica czasu między osiągnięciem przez  $U_{GT}$  progu  $U_{14}$  a zakończeniem impulsu wejściowego; owocuje wytworzeniem "impulsu błędu". Jest to przypadek niezgodności aktualnego położenia serwomechanizmu z zadaniem. Impuls błędu posłuży do wytworzenia sygnału sterującego np. mikrośilnik dla uzyskania właściwego położenia.

Przy statycznym przypadku zgodności, dla

$$\begin{aligned} U_{14} &= 1.5V \\ R_T &= 18k\Omega \\ C_T &= 0.1\mu F \end{aligned}$$

$$T = \frac{C_T \times V_{14}}{I_{RT}} = 1.5 \times 10^{-3} [s]$$

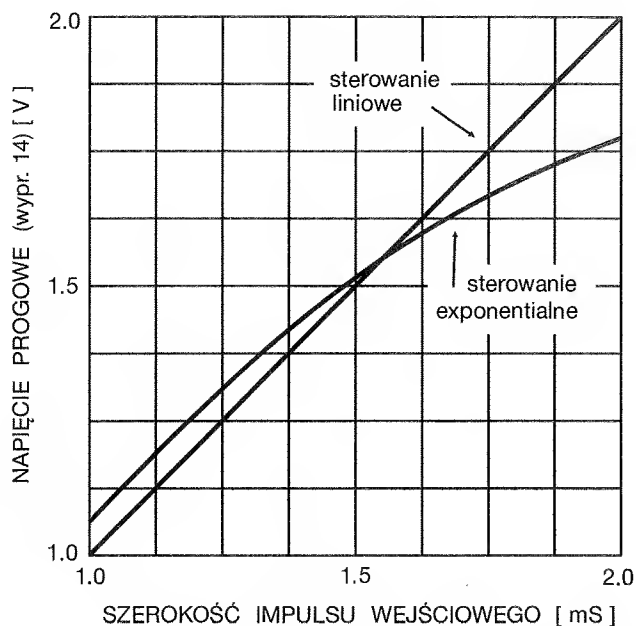
Co jest zalecanym środkiem zakresu regulacji (Rys.2).

## Tryb.2 Wyzwalane impulsowo sterowanie exponentialne

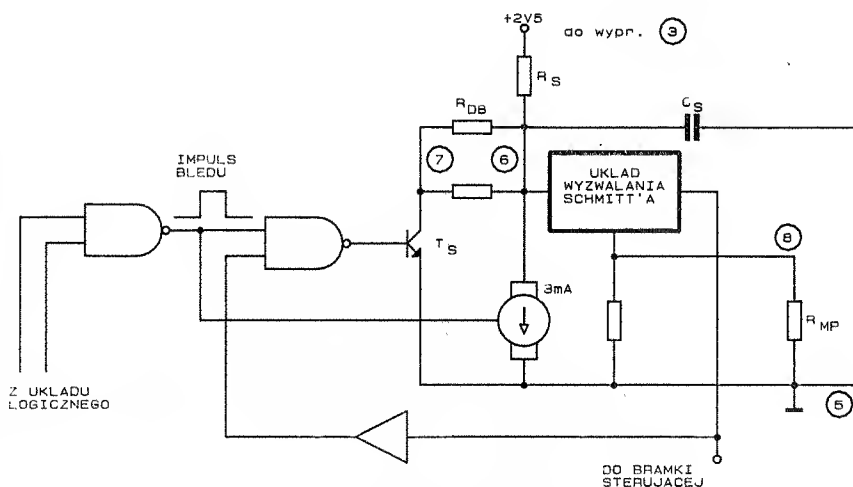
Możliwość sterowania exponentialnego uzyskujemy realizując aplikację z Rys.5. Jak widać, wymaga to minimalnej modyfikacji połączeń dla poprzedniego trybu pracy. Wstępny etap wytworzenia "impulsu błędu" jest zbliżony do omówionego w 1. trybie pracy. Różnicę stanowi sposób ładowania pojemności  $C_T$ , w tym przypadku z pominięciem źródła prądowego przez rezystor  $R_{TE}$ . Jest to ładowanie nieliniowe, dlatego czas cyklu wyzwalania, liczony od zaistnienia impulsu wejściowego do wyzwolenia wejścia komparatora (wypr. 14) obliczamy z zależności:

$$T_E = R_{TE} C_T \times L_n \frac{V_3}{V_3 - V_{14}}$$

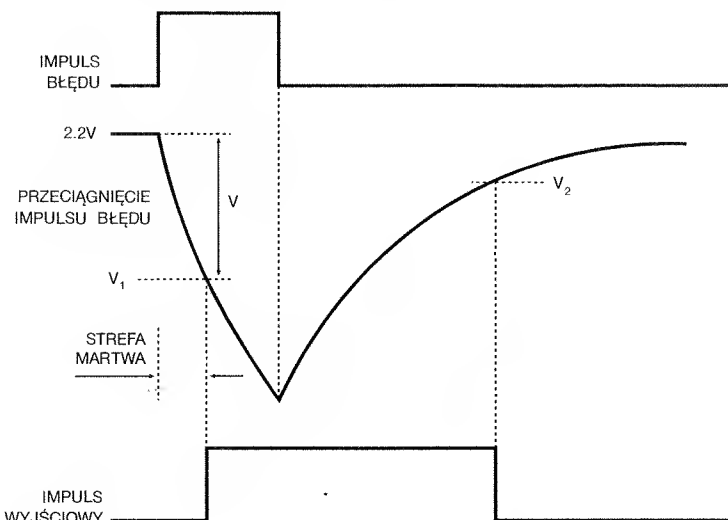
Przy zastosowaniu zalecanych wartości elementów, dla



Rys.6

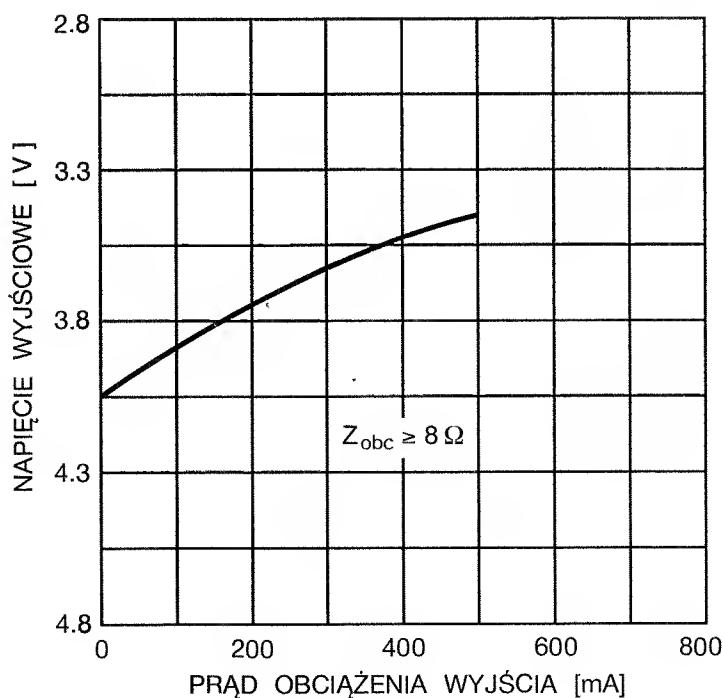
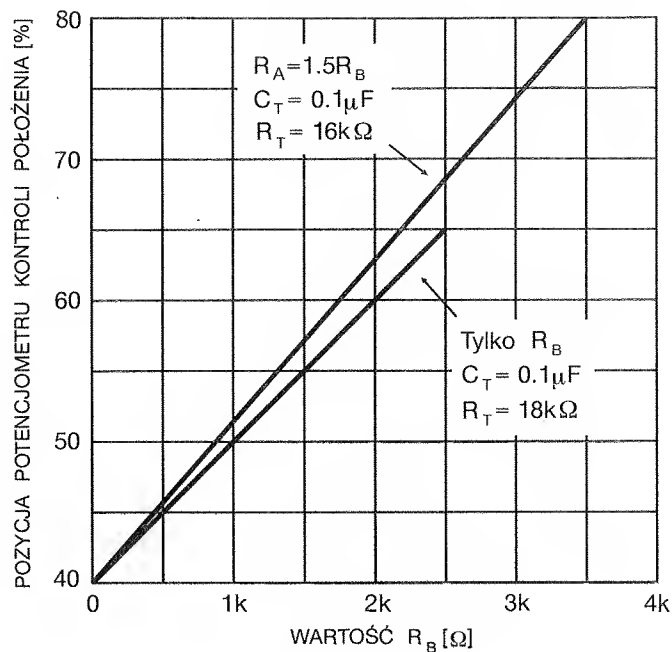
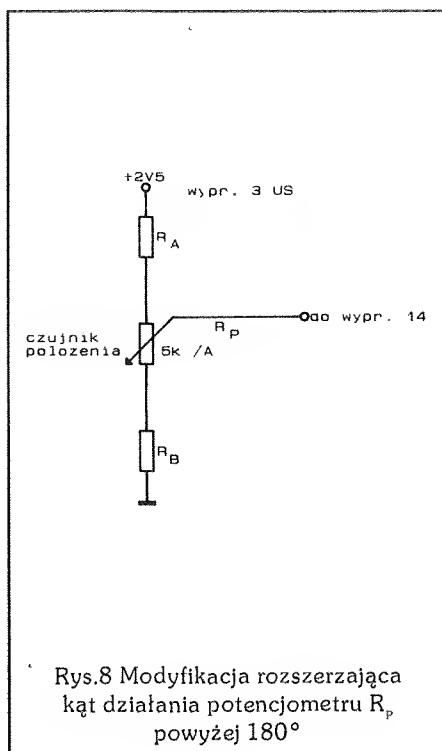


Rys.7 a) Układ przeciągania reakcji na impuls błędu – wybrany fragment układu



Rys.7 b) Układ przeciągania reakcji na impuls błędu – ilustracja procesów





$$\begin{aligned} V_3 &= 2.5V_{typ.} \\ V_{14} &= 1.5V \\ R_{TE} &= 16k\Omega \\ C_T &= 0.1\mu F \end{aligned}$$

$$T_E = 1.47ms$$

Pozycja centralna lub zerowa położenia serwomechanizmu ulegała zmianie w stosunku do poprzedniej Rys.6.

ciąg dalszy w następnym numerze

Sławomir Szczęśniewicz

Opracowano na podstawie:  
(SIGNETICS) – „LINEAR DATA MANUAL”

# Mikroprocesorowy zegar sterownik cz.II

## Ustawianie alarmów

Przejdźcie do procedury alarmy realizuje się przez naciśnięcie przycisku P2. Naciśnięcie go spowoduje pojawienie się na pozycji godzin napisu Pr, a na pozycji minut cyfr od 1 do 4, zmieniających się co 2 sek. Cyfry te oznaczają przełącznik (stąd skrót Pr) którego dotyczy napis pojawiający się na pozycji sekund (on/off). Napis ten informuje czy został zaprogramowany dany przełącznik (on).

### Przykład:

Pr1on oznacza, że przełącznik 1 został zaprogramowany i kiedyś się włączy  
Pr3off przełącznik 3 zawsze po-

zostanie wyłączony

W czasie gdy pojawiają się kolejne cyfry, naciśnięcie przycisku P2 spowoduje zatrzymanie się odliczania. Wtedy P4 można włączyć bądź wyłączyć zaprogramowane czasy. Jeśli dany przełącznik jest w stanie OFF, to włączenie jest możliwe jeśli wcześniej przełącznik miał zaprogramowane czasy.

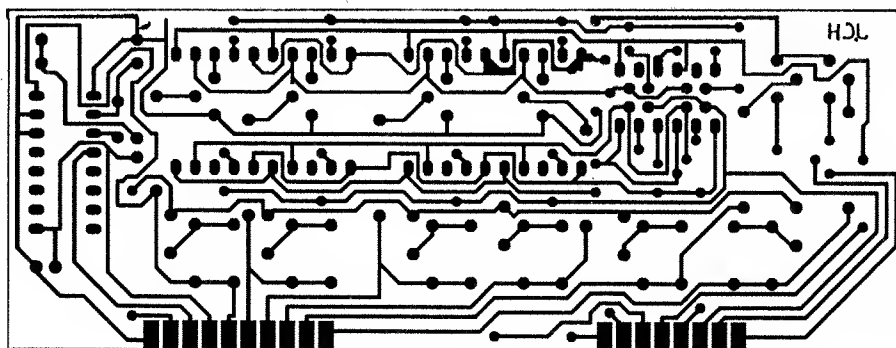
W tym miejscu należy wspomnieć, że z każdej części procedury programowania alarmów można wyjść przez naciśnięcie P1, przycisk ten spełnia taką samą funkcję jak klawisz ESCAPE w komputerze.

Ponowne naciśnięcie P2 powoduje pojawienie się napisu FREE X, gdzie x jest liczbą pokazującą ile jest wolnej pamięci. Jeśli jest to

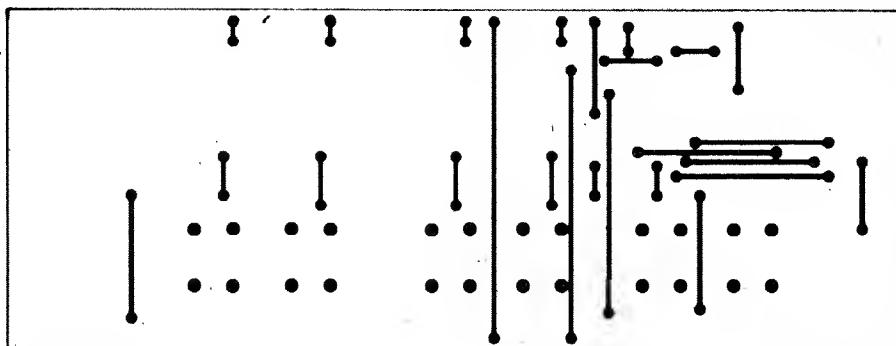
liczba 13 to można jeszcze zaprogramować 13 czasów, trzy czasy zostały już zaprogramowane. Następne naciśnięcie P2 spowoduje pojawienie się na pozycji godzin litery C (skrót czas), na pozycji minut cyfry 1. Na pozycji sekund pokazywana jest liczba informująca ile jest już zaprogramowanych czasów. Jeśli będzie to liczba 2 to znaczy, że zostały wcześniej zaprogramowane dwa czasy. Najlepiej wyjaśnić powyższe na przykładach:

### Stan wyświetlacza

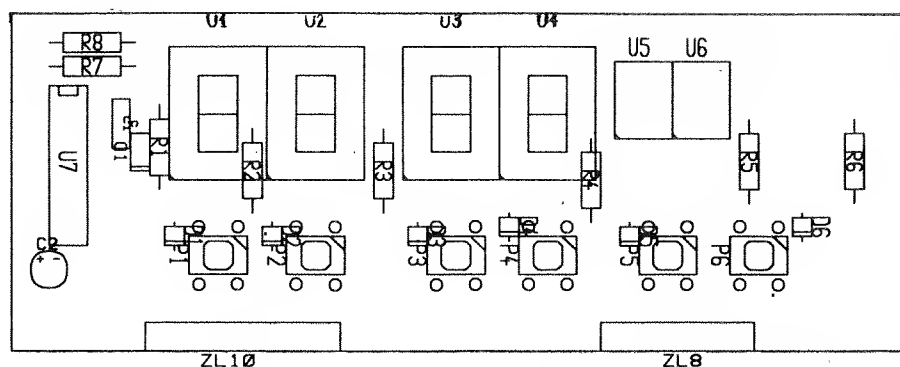
C 01 02 Naciśnięcie P2 – przejście do edycji czasu 1 (dwa są już zaprogramowane).  
Naciśnięcie P4 – zmiana



Rys. 6a Płytki wyświetlacza widok od strony lutowania



Rys. 6b Płytki wyświetlacza widok od strony elementów



Rys. 6c Płytki wyświetlacza schemat montażowy

- na wyświetlaczu  
C 02 02 P2 – edycja czasu 2.  
Naciśnięcie P3 powrót do  
C 01 02 a naciśnięcie P4 zmiana  
na wyświetlaczu  
C 02 02 kolejne naciśnięcie P4  
C 03 02 naciśnięcie P2 spowoduje  
przejsięcie do programowa-  
nia czasu 3 czyli nowego,  
ponieważ zostały zapro-  
gramowane dwa czasy

Reasumując przyciskami P3 i P4 poruszamy się po kolejnych czasach, P2 wchodzimy w edycję czasu, a P1 jest klawiszem escape.

Po wejściu w edycję czasu (P2) na małym wyświetlaczu pojawi się liczba 1, 7 lub 31. Przetaczanie między kolejnymi liczbami realizuje się przyciskiem P4. Jeśli na pozycji sekund jest 1, to minuty są wygaszone. Oznacza to, że czas ten będzie włączał przełącznik codziennie. Jeśli pojawi się cyfra 7, to na pozycji minut pojawi się liczba z przedziału 1 – 7. Liczbę tę można zmieniać przyciskiem P3. Oznacza to, że czas ten będzie włączał przełącznik w wybranym dniu tygodnia. Jeśli na pozycji sekund będzie liczba 31, to przyciskiem P3 ustawiamy liczbę z przedziału 1 – 31. Czas ten będzie aktywny w wybranym dniu miesiąca.

W celu przejścia do dalszego ustawiania czasów naciskamy P3. Na pozycji sekund pojawi się napis Po, ustawianie początku czasu, minuty będą mrugać. P3 zmniejsza wskazania, a P4 zwiększa minuty. Naciśnięcie P2 powoduje przejście do ustawiania godzin, które będą mrugać. Zmieniamy nastawy przy pomocy P3(–) i P4(+). Dalsze naciśnięcie P2 powoduje przejście do

ustawienia długości czasu włączenia przełącznika. Na pozycji sekund pokaże się napis dL(długość). Ustawianie tak samo jak początek załączenia. Maksymalna długość włączenia wynosi 7h 59m.

Następne naciśnięcie przycisku P2 po ustawieniu długości powoduje pojawienie się napisu C 01 On. 01 dla przypomnienia jaki czas został ustawiony, jeśli będziemy ustawiali czas drugi to będzie 02. Zamiast on możemy ustawić przyciskiem P4 na off. Wtedy ten czas nie będzie aktywny.

Następne naciśnięcie P2 powoduje przejście do ustawienia załączenia melodyjki. Na wyświetlaczu pokaże się napis AOn. Przyciskiem P4 przetaczamy między on a off. Jeśli czas został ustawiony na off to alarmu nie ustawimy na on.

W ten sposób można ustawić wszystkie czasy.

Przy kolejnym ustawianiu liczba wolnej pamięci będzie się zmniejszać, co będzie miało odbicie w liczbie po słowie Free. Jeśli wolnej pamięci nie będzie (0) to próba zaprogramowania spowoduje pojawienie się napisu Err (Error) na 1 sekundę i przejście do wyświetlania czasu. W takiej sytuacji należy ustawić niepotrzebne czasy na off.

W trakcie ustawiania czasów wszystkie przełączniki są nieaktywne. Jeśli jakiś będzie aktywny, to w momencie przejścia do ustawiania czasów zostanie on wyłączony

### Ustawianie czasu szybkiego załączenia przełącznika 1

Naciskamy P3. Na pozycji minut pokaże się nastawiona wcześniej

wartość. Wtedy za pomocą P3 zmniejszamy, a P4 zwiększamy nastawę. Po naciśnięciu przycisku P5 przełącznik P1 zostanie załączony na zaprogramowany czas. Ponowne naciśnięcie spowoduje wyłączenie przełącznika.

### Na koniec kilka uwag

Ustawiane czasy mogą się pokrywać, mogą zachodzić na siebie, mogą stykać się ze sobą rys.4. Jeśli chcemy ustawić czas załączenia równy 10 godzinom, to należy ustawić jeden czas na 6h a drugi na 4h (lub oba po 5h). Maksymalna długość czasu to 7H 59m. Przy stykaniu się czasów przełącznik przy kończeniu się jednego czasu i zaczynaniu drugiego nie wyłączy się nawet na chwilę. Przełączniki nie włączają się dokładnie o ustawionej minucie, ale o sekundę później. Alarm w przypadku nie skasowania przyciskiem P6 trwa 4 minuty.

Autor przewiduje rozszerzenie programu zegara o moduł obsługi sygnału ze stacji DCF-77. Moduł ten podłączony byłby do wejścia INT lub TO.

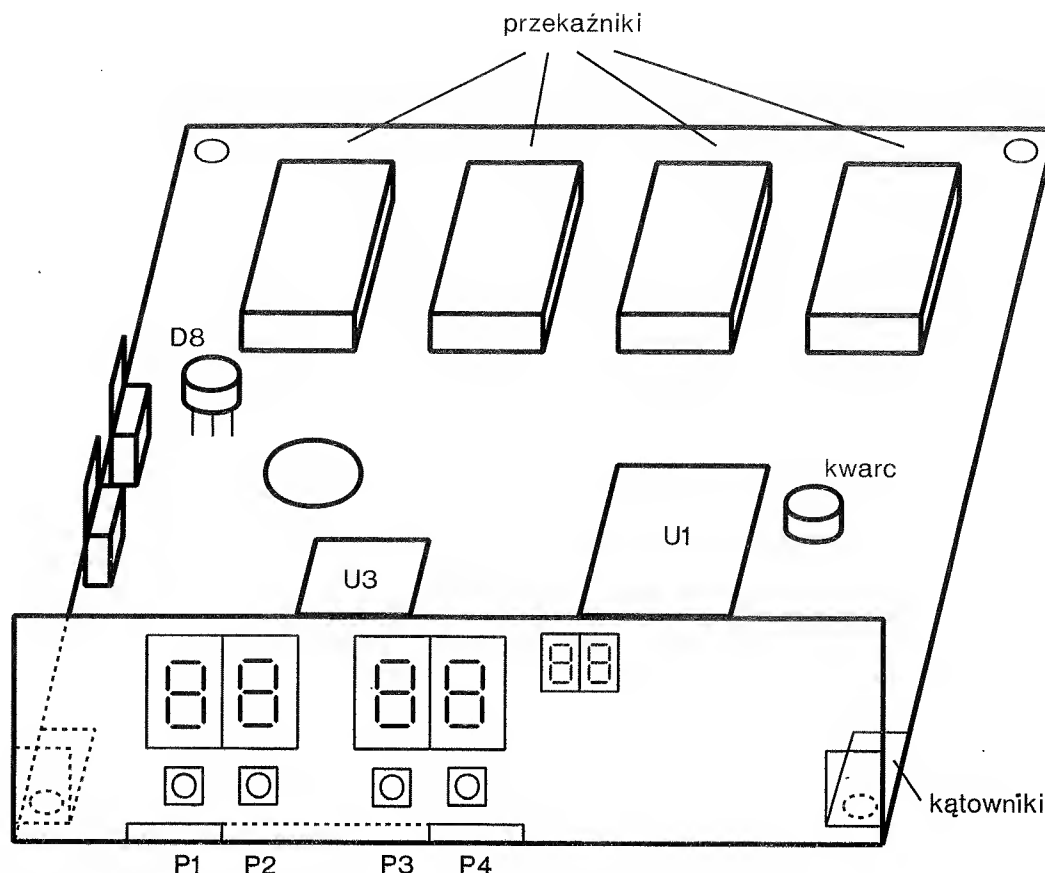
### Opis poszczególnych funkcji przycisków

#### P1

- 1) przy jego pomocy wychodzi się z procedury ustawiania czasu
- 2) naciśnięcie P2 ustawianie czasu, daty i roku

#### P2

- 1) wejście do procedury ustawiania czasu.
- 2) w procedurze ustawiania czasu przechodzenie przez kolejne



Rys. 7 Rysunek przestrzenny zmontowanego zegara

## etapy

**P3**

- 1) wejście do ustawiania czasu szybkiego załączenia przełącznika 1
- 2) ustawianie dnia w tygodniu lub dnia w miesiącu przy ustawianiu czasu
- 3) zmniejszanie minut, godzin, miesięcy, dni, lat

**P4**

- 1) przełączanie między czasem, datą a rokiem
- 2) przełączanie między on a off
- 3) zwiększanie minut, godzin, miesięcy, dni, lat

**P5**

- 1) włączanie i wyłączanie przełącznika 1
- 2) jeśli włączenie przełącznika zostało spowodowane przez któryś z czasów, to naciśnięcie spowoduje skasowanie wszystkich czasów, które włączenie przełącznika spowodowały (kilka ponieważ czasy mogą się nakładać)

**P6**

- 1) kasowanie alarmu

**Spis elementów****Płytki procesora**

|                 |                     |
|-----------------|---------------------|
| T7, T8, T9, T10 | BC307B              |
| U1              | 80C51, 80C31        |
| U2              | 74HCT373,           |
|                 | 74HC373             |
| U3              | 27C64               |
| U4              | 74HCT273,           |
|                 | 74HC273             |
| R7, R17, R18,   |                     |
| R19, R20        | 10kΩ                |
| R8, R9, R10,    |                     |
| R11, R12, R13,  |                     |
| R14, R15        | 330Ω                |
| R1, R2, R3, R4, |                     |
| R5, R6, R16     | nie ma na schemacie |
| C1, C5, C6      | 10μF/16V            |
| C2              | 33pF                |

|    |            |
|----|------------|
| C3 | trymer     |
|    | 5–33pF     |
| C4 | 100nF      |
| C8 | 1000μF/16V |

|                |              |
|----------------|--------------|
| S1, S2         | monostabilne |
|                | isostaty     |
| K1, K2, K3, K4 | przełączniki |
|                | RM 81P       |

**Płytki wyświetlaczy**

|                |              |
|----------------|--------------|
| U1, U2, U3, U4 | TD5G5157     |
|                | wsp. anoda   |
|                | 12mm         |
| U5, U6         | TD5G1150     |
|                | wsp. anoda   |
|                | 7mm          |
| T1, T2, T3,    |              |
| T4, T5, T6     | BC307B       |
| R1, R2, R3,    |              |
| R4, R5, R6     | 10kΩ         |
| P1, P2, P3, P4 | mikroswitche |

Do artykułu dołączono program o wielkości 1892 bajty. Jest to okrojona wersja właściwego pro-

gramu. Umożliwia ona wyświetlanie czasu, daty, roku i ich ustawianie. Nie działają alarmy i przekaźniki w tej wersji.

Właściwy program liczy ponad 4 Kb i ma wszystkie cechy opisane w artykule.

Wszelkie uwagi, ewentualne pomysły jakie funkcje zegar powinien

jeszcze spełniać proszę kierować na adres:

82-300 Elbląg  
ul. Bażyńskiego 25/9  
Jarosław Choma

Proszę dołączyć zwrotnie zaadresowaną kopertę ze znaczkiem.

Płytkę procesora + płytkę wyświetlacza i zaprogramowany pełnym programem eeprom w cenie 160 tys. zł. można zamówić za zaliczeniem pocztowym pisząc na powyższy adres.

Jarosław Choma

### Program demo do zegara na mikroprocesorze 80C51

Autor © J. Choma

| adres | kod programu                     |
|-------|----------------------------------|
| 000   | 75810C02004C                     |
| 00B   | 22                               |
| 013   | 22                               |
| 01B   | C0E0C0D0C28E74E3258BF56B740B358D |
| 02B   | F58DD28E05090509051FE51FB4040A05 |
| 03B   | 31751F00D0D0D0E03200000D0D0D0E0  |
| 04B   | 32780079807400F608D9FA7522FF7A00 |
| 05B   | 751F0075310075230075240075290575 |
| 06B   | 250175260175275D7528137588457589 |
| 07B   | 11758D0B758BE375A88CD2A90E120525 |
| 08B   | 20030C3008F60ABA03F27A000200B730 |
| 09B   | 02EA7530FA0200A77A0001877A001530 |
| 0AB   | E53070047A000187120525200B3C2008 |
| 0BB   | 41E51F20E0F2782AE52430D10312050A |
| 0CB   | 75F00A8485F02CF52DE52375F00A8485 |
| 0DB   | F02AF52B752E14752F14120576200B0A |
| 0EB   | 20080FE51F30E0CE01A77A0075307802 |
| 0FB   | 011DE531B41E0040020523C2AB753100 |
| 10B   | 751F00758D0C756B00C28FD2AB7530FA |
| 11B   | 01A77A001630E53070047A000187E523 |
| 12B   | B480004002941075F03C8485F0231205 |
| 13B   | 25200 5178231206F2E51F20E0E0732A |
| 14B   | E5243 D10312050A75F00A8485F02CF5 |
| 15B   | 2DE53175F00A84F52E85F02F752A1475 |
| 16B   | 2B14120576200B1D3008020523300902 |
| 17B   | 1523E51F30E0C7300003753078300103 |
| 18B   | 753078211D7C007530781530E5307004 |
| 19B   | 7A0001877A00E524B480004002941075 |
| 1AB   | F0188485F024782AE52430D10312050A |
| 1BB   | 75F00A8485F02CF52D752E02752F0430 |
| 1CB   | D106752E01752F02E52375F00A8485F0 |
| 1DB   | 2AF52B120576300A02B2D1200B547824 |
| 1EB   | 1206F2E51F20E0AC782A752C14752D14 |
| 1FB   | 752E02752F0430D106752E01752F02E5 |
| 20B   | 2375F00A8485F02AF52B120576300A02 |
| 21B   | B2D1200B1D30080205243009021524E5 |
| 22B   | 1F30E0C4300003753078300109753078 |
| 23B   | 21957530781530E53070047A0001877A |
| 24B   | 02E527B4AF00400694381528152875F0 |

|     |                                  |
|-----|----------------------------------|
| 25B | 648485F0272528F528E528B4140DE527 |
| 26B | B45E00400675275D752813E528B4130D |
| 27B | E527B45D00500675275D752814120525 |
| 28B | 200B4778271206F2E51F20E0B2782AE5 |
| 29B | 2875F00A84752C14752D14752E14752F |
| 2AB | 14752A14752B14120576200B1D300802 |
| 2BB | 05273009021527E51F30E0D130000375 |
| 2CB | 307830010375307841407530781530E5 |
| 2DB | 3070047A0001877A01E52614B4800040 |
| 2EB | 02940475F00C8405F085F02612052520 |
| 2FB | 0B4C78261206F21203DDE51F20E0D878 |
| 30B | 2AE52575F00A84752C14752D14752E14 |
| 31B | 85292F85F02AF52B120576200B203008 |
| 32B | 02052630090215261203DDE51F30E0CF |
| 33B | 30000375307830010375307841D87530 |
| 34B | 781530E53070047A0001877A01E52775 |
| 35B | F00484E5F0600690073302036890073F |
| 36B | E52693F5F0E52514B480004009A8F0C3 |
| 37B | 94908B820F98405F085F02512052520  |
| 38B | 0B4C78251206F21203DDE51F20E0B078 |
| 39B | 2AE52675F00A8485F02CF52D752E1485 |
| 3AB | 292F752A14752B14120576200B203008 |
| 3BB | 02052630090215251203DDE51F30E0CF |
| 3CB | 300003753078300103753078614C7A00 |
| 3DB | 0187752C00752D00752A5D752B13E528 |
| 3EB | B52B08E527B52A0302043AE52A75F004 |
| 3FB | 84E5F0601DE52C246DF52CE52D3401F5 |
| 40B | 2DE52A240175F0648485F02A352BF52B |
| 41B | 61E9E52C246EF52CE52D3401F52DE52A |
| 42B | 240175F0648485F02A352BF52B61E9E5 |
| 43B | 2775F00484E5F0700690073F02044D90 |
| 44B | 0733752A01E52AB52612C3E525940125 |
| 45B | 2CF52CE52D3400F52D02047693252CF5 |
| 46B | 2CE52D3400F52D052A8150E52C75F007 |
| 47B | 8485F02CE52D75F00784E5F075F004A4 |
| 48B | 252C240575F00784E5F070027407F529 |
| 49B | 22C2ABE53175F03C8485F0312AB7001  |
| 4AB | 2252375F03C8485F023252475F01884  |
| 4BB | 85F024604905292525F525E2775F004  |
| 4CB | 84E5F0700690073F0204D9900733E526 |
| 4DB | 93F5F0E525148405F085F025252675F0 |

|     |                                   |
|-----|-----------------------------------|
| 4EB | 0C148405F085F026252775F0848485F0  |
| 4FB | 272528F528E52975F0078485F0292204  |
| 50B | 83220C0102030405060708090A0B0C01  |
| 51B | 02030405060708090A0BBA0018E53175  |
| 52B | F00A84F52E85F02FE52430D102B10AFB  |
| 53B | E52302055DBA010D752E1485292FE525  |
| 54B | AB2602055DBA020AE527AB28752E1475  |
| 55B | 2F14782A75F00A84F52B85F02AE875F0  |
| 56B | 0A84F52D85F02C12057622E612074CF0  |
| 57B | C2AAC29285202120B405D20002058CC2  |
| 58B | 00A200B008920820B305D20602059CC2  |
| 59B | 06A206B00E920ED2AA1206CAD29208E6  |
| 5AB | 12074CF0C2AAC29320B405D2010205BD  |
| 5BB | C201A201B009920920B305D2070205CD  |
| 5CB | C207A207B00F920FD2AA1206CAD29308  |
| 5DB | E612074CF0C29420B405D2020205ECC2  |
| 5EB | 02A202B00A920A1206CAD29408E67005  |
| 5FB | 74FFF0800412074CF0C29520B405D203  |
| 60B | 020610C203A203B00B920B1208CAD295  |
| 61B | 08E612074CF0C2911206DED29108E612  |
| 62B | 074CF0C2901206DED290919C74FFF022  |
| 63B | C000E675F00A84C0E0C0F0E875F0Q284  |
| 64B | E5F07015782A752A14752B14D0E0F52C  |
| 65B | D0E0F52DB176D00022782A752C14752D  |
| 66B | 14D0E0F52AD0E0F52BB176D00022783C  |
| 67B | E82404B48003020696F8E675F0408404  |
| 68B | B507ED08E620E70718C17B752F02275   |
| 69B | 2F12227C00783DE82404B481030206B9  |
| 6AB | F8E620E7F20CC1A2EC75F00A84752A0E  |
| 6BB | 752B0E752C11752D0F85F02FF62E22C0  |
| 6CB | 087508FFD508FD43903F750801D0508FD |
| 6DB | D00822C008750850D508FD43903F7508  |
| 6EB | 01D508FDD00822300801062000027C00  |
| 6FB | 0CE030E5037C1008300901162001027D  |
| 70B | 000DED30E5037D101622436F70797269  |
| 71B | 67687420204A61726F736C617204368   |
| 72B | 6F6D612031393932721F1C1F1E1F1E1F  |
| 73B | 1F1E1F1E1F1F1D1F1E1F1E1F1E1F1E    |
| 74B | 1F04832218DE3292D49111DA10905015  |
| 75B | 391631713D775717FF70              |

## Syntezer mowy i efektów dźwiękowych UM5000

Jest to jednokładowy syntezer mowy/odgłosów zawierający wewnętrzną dwusekcyjną pamięć ROM.

Dwie sekcje pamięci mogą być odrębnymi źródłami dwóch różnych zapowiedzi/odgłosów lub sta-

nowić jedną całość.

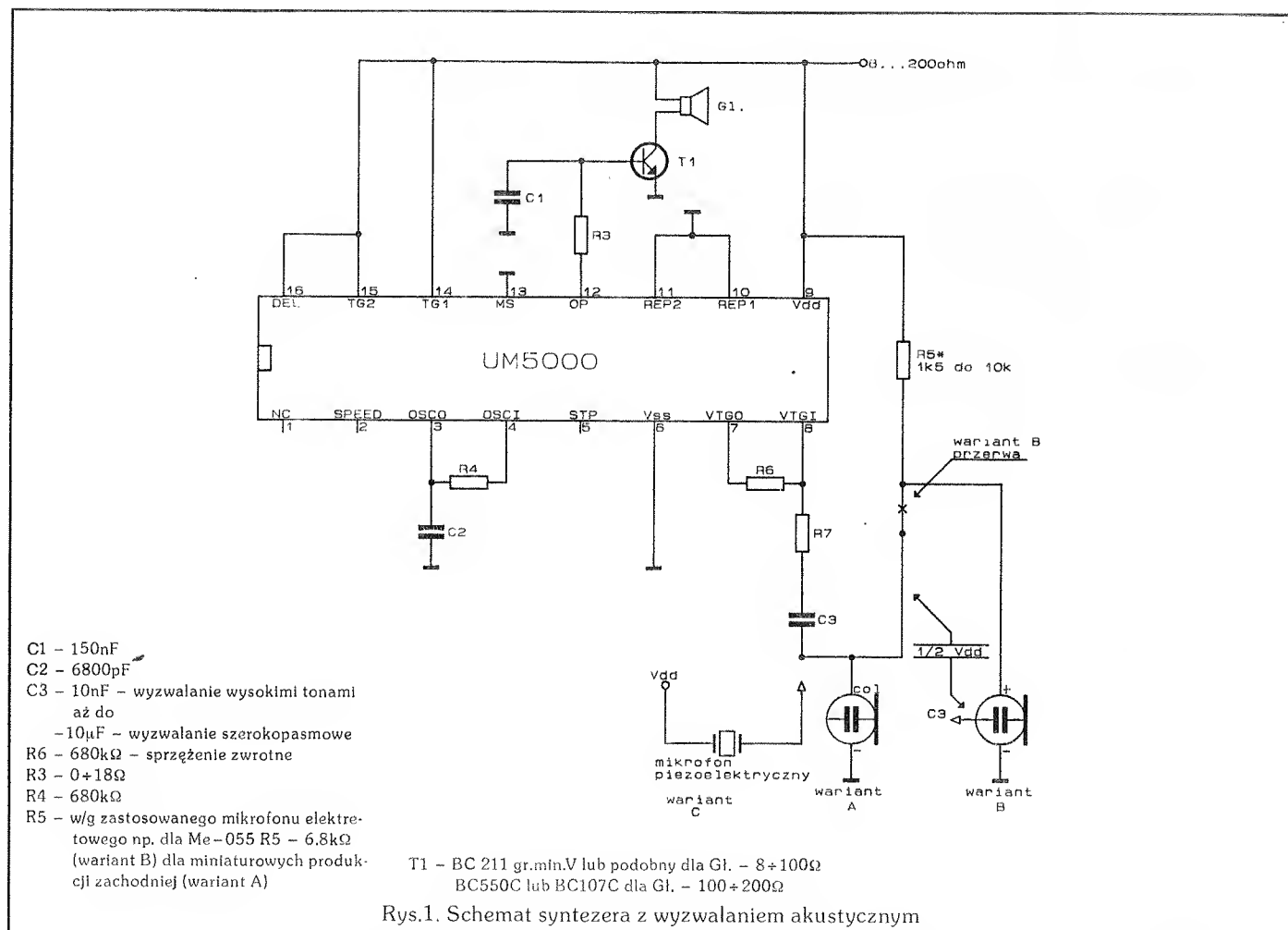
Niestety zawartość danych pamięci ROM pozwalających na syn-



## 2. Stałoprądowa charakterystyka elektryczna:

$T_0=25^{\circ}\text{C}$ ,  $V_{SS}=0\text{V}$  – poziom masy

| Parametr                         | Oznaczenie | Min.         | Typ.     | Max.         | Jednostki     | Warunki                              |
|----------------------------------|------------|--------------|----------|--------------|---------------|--------------------------------------|
| prąd spoczynkowy                 | $J_{DD1}$  |              |          | 15           | $\mu\text{A}$ | $V_{DD}=3\text{V}$                   |
|                                  | $J_{DD2}$  |              |          | 25           | $\mu\text{A}$ | $V_{DD}=6\text{V}$                   |
| napięcie wejściowe               | $V_{IH}$   | $V_{DD}-0.3$ | $V_{DD}$ | $V_{DD}+0.3$ | V             | $V_{DD}=3\div 6\text{V}$             |
|                                  | $V_{IL}$   | $V_{SS}-0.3$ | $V_{SS}$ | $V_{SS}+0.3$ | V             | $V_{DD}=3\div 6\text{V}$             |
| napięcie pracy                   | $V_{OP}$   | 3            | 6        | 6.6          | V             |                                      |
| prąd pracy                       | $J_{OP1}$  |              | 0.3      | 0.8          | mA            | $V_{DD}=3\text{V}$ bez obciążenia    |
|                                  | $J_{OP2}$  |              | 0.5      | 1            | mA            | $V_{DD}=6\text{V}$ bez obciążenia    |
| prąd wyjściowy                   | $J_{O11}$  |              | 1.3      |              | mA            | $V_{DD}=3\text{V}$ $V_0=0.7\text{V}$ |
| (pełen zakres przetwarzania C/A) | $J_{O12}$  |              | 2        |              | mA            | $V_{DD}=6\text{V}$ $V_0=0.7\text{V}$ |



Rys.1. Schemat syntezera z wyzwalaniem akustycznym

teżę efektów dźwiękowych jest jednorazowo programowana przez wytwórcę w fazie produkcji.

Oto najważniejsze cechy eksploatacyjne układu:

- napięcie zasilające 3 ÷ 6V
- cykliczne powtarzanie generowanej treści przy wyborze takiej opcji
- wyzwalanie ciągłe, sterowanie impulsowe lub głosem
- dwa obszary (sekcje) pamięci z możliwością wyboru ich zawar-

## 3. Sterowanie opcją powtarzania cyklicznego

| Ilość powtórzeń | Pozycja REP 1 | Pozycja REP 2 |
|-----------------|---------------|---------------|
| 1 raz           | 0             | 0             |
| 2 razy          | 1             | 0             |
| 4 razy          | 0             | 1             |
| 8 razy          | 1             | 1             |

- tości
- wyzwalanie z opóźnieniem 1.25s lub bez
- zmianę efektu odtwarzania

- (dwukrotna prędkość) przez wybór opcji
- modyfikacja brzmienia przez zmianę wartości R1 oscylatora

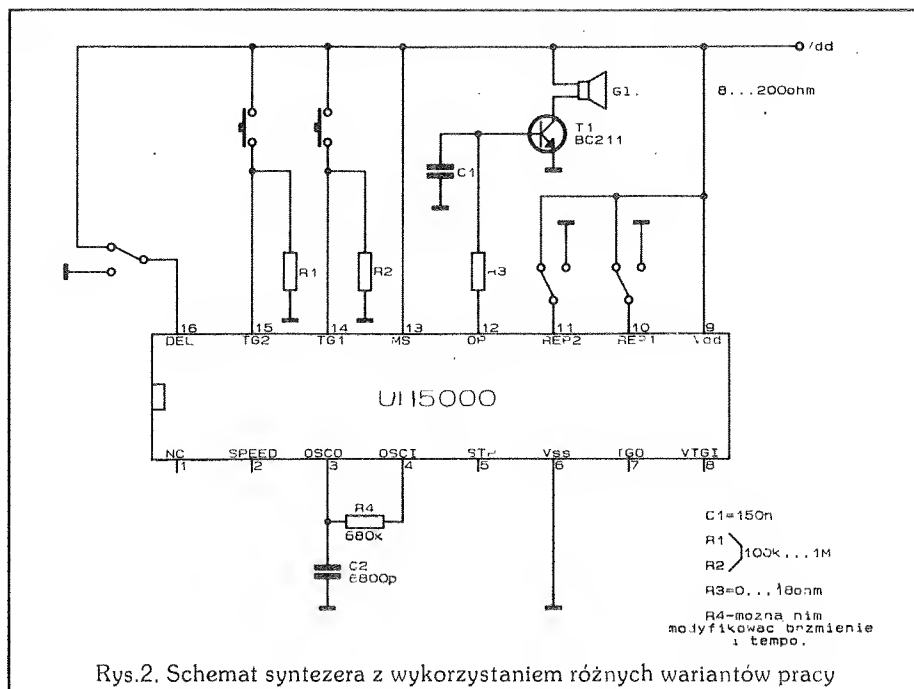
taktującego

- wysoka jakość syntetycznego dźwięku lub mowy
- możliwość szeregowego łączenia układów UM 5000 lub innych np. generatorów melodii.

#### Lista zawartości efektów dźwiękowych układów rodziny UM 5000:

- UM 5000-1 – szczekanie psa
- UM 5000-2 – odgłosy dinozaurów
- UM 5000-56 – pianie koguta
- UM 5000-57 – 1. kukułka 2. "Good Morning" po japońsku – głos kobiety
- UM 5000-58 – 1. kukułka 2. "Good Morning" głos dziewczyny

Układ jest wyposażony w wewnętrzny generator zegarowy, wymagający jedynie uzupełnienia zewnętrznej gałęzi elementów RC, które powinny się cechować dobrą jakością, a zwłaszcza stabilnością temperaturową. Od stabilności stałej czasowej tej gałęzi zależy jakość (naturalność) generowanych efektów dźwiękowych. Z drugiej zaś strony, celowa zmiana brzmienia sygnału wyjściowego jest bezproblemowa. Wartość wymienionych elementów jest zalecana przez producenta jako optymalna i



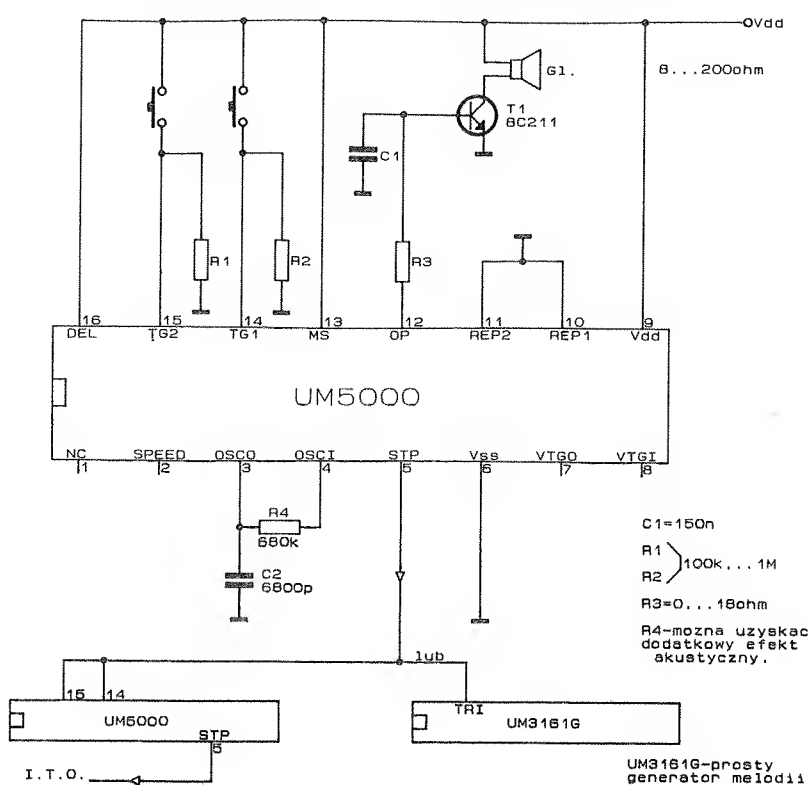
Rys.2. Schemat syntezy z wykorzystaniem różnych wariantów pracy

oferowana w przedstawionych schematach aplikacyjnych. Bardzo przydatne jest wyjście sterujące STP(wypr.5). Na wyjściu tym pojawia się impuls po każdym kroku zrealizowanego programu. Krokiem programu może być każda z dwóch wyzwolonych sekwencji lub obydwie razem przy wspólnym ich wyzwaniu. Wejście VTGI we współpracy z VTGO (wypr. 8 i 7) umożliwia wyzwianie syntezy sygnałem akustycznym. Źródłem sygnału

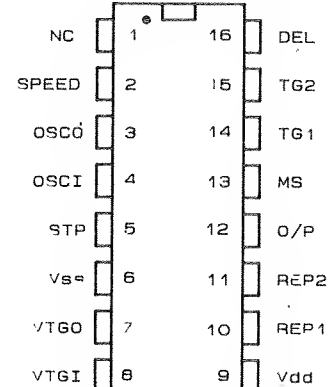
elektrycznego może być przetwornik piezoceramiczny lub miniaturowy, łatwo dostępny mikrofon elektretowy. Zmianę czułości wejścia wyzwalającego oraz modyfikację wrażliwości na określone widmo częstotliwości przeprowadzamy przez zmianę wartości elementów R4, C4 lub stosowanie dodatkowych elementów filtrujących. Mała wartość prądu pobieranego przez układ w stanie spoczynku (max.25µA/6V) umożliwia ciągłe

#### 4. Objaśnienie wyprowadzeń układu UM 5000

| Numer wyprowadzenia | Oznaczenie      | Objaśnienia   |
|---------------------|-----------------|---|
| 1                   | NC              | Nie podłączona w normalnym trybie pracy (wysoki potencjał – test); (potencjał masy lub wolna – normalna praca)        |
| 2                   | SPEED           | Sterowanie funkcją odtwarzania (wysoki potencjał – podwójna prędkość); (potencjał masy lub wolna – prędkość normalna) |
| 3                   | OSCO            | Do podłączenia elementów RC oscylatora  |
| 4                   | OSCI            | Do podłączenia elementów RC oscylatora  |
| 5                   | STOP            | Sygnał wyjściowy zatrzymania po jednym kroku  |
| 6                   | V <sub>ss</sub> | Ujemne napięcie zasilające  |
| 7                   | VTGO            | Wyzwalanie głosem   |
| 8                   | VTGI            | Wyzwalanie głosem – wejście sygnału   |
| 9                   | V <sub>dd</sub> | Dodatnie napięcie zasilające  |
| 10                  | REP 1           | Sterowanie funkcją powtarzania  |
| 11                  | REP 2           | Sterowanie funkcją powtarzania  |
| 12                  | OP              | Wyjście prądowe sygnału mowy  |
| 13                  | MS              | Wybór rodzaju pracy (potencjał masy – wyzwianie głosem); (wysoki potencjał – stałe lub impulsowe wyzwianie)           |
| 14                  | TG 1            | Wejście wyzwalające 1. część zawartości pamięci   |
| 15                  | TG 2            | Wejście wyzwalające 2. część zawartości pamięci   |
| 16                  | DEL             | Sterowanie funkcją opóźnienia (wysoki potencjał – opóźnienie 1.25s)   |



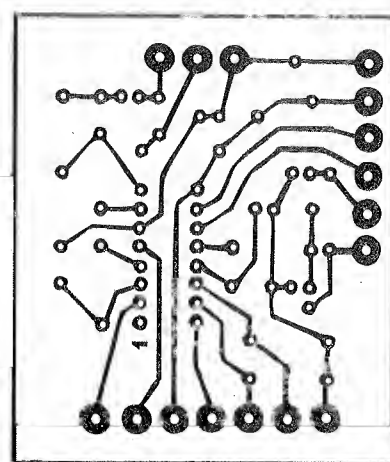
Rys.3. Schemat syntezy wyzwalającego łańcuch innych UM 5000 lub generatorów melodii



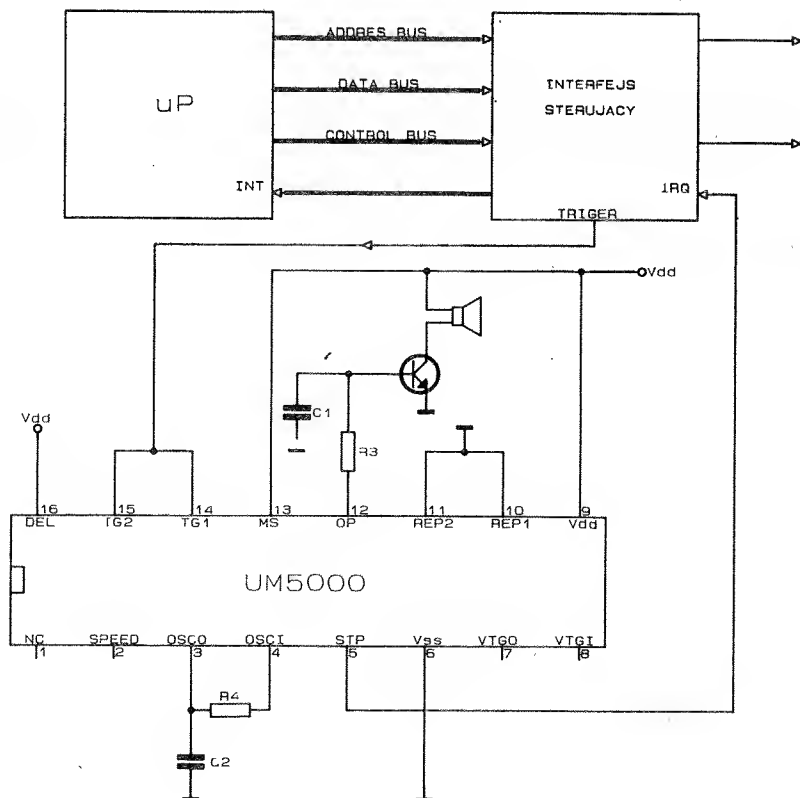
UM5000... - OBUDOWA PLASTYKOWA :  
RASTER - 2,54mm  
ROZSTAW 7,62mm

UM5000...H - CHIP

Rys.5a Topografia wyprowadzeń obudowy 16L DIP



Rys.6. Płytką drukowaną uniwersalna do schematów z Rys. 1, 2, 3



Rys.4. Współpraca UM 5000 z µP układem sterującym

zasilanie z małogabarytowych baterii alkalicznych lub litowych.

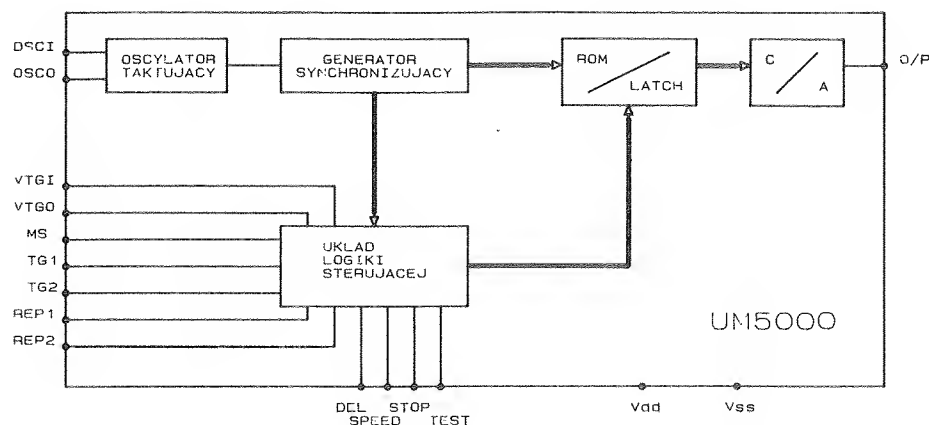
Układy rodziny UM 5000 są wytwarzane w postaci chip'ów technologicznych oraz w 16-końcówkowych obudowach plastikowych o typowej formie i rozmiarach.

### 1. Parametry graniczne:

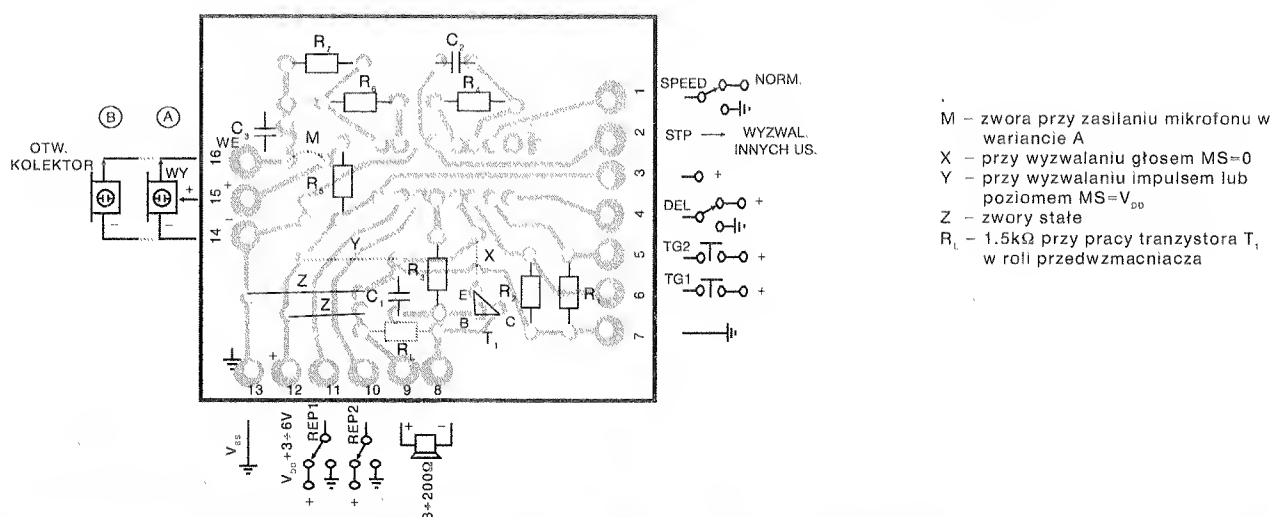
- napięcie zasilające ( $V_{DD} - V_{SS}$ ) max.:  
- 0.3V do +6V
- maksymalne napięcie podawane do wejść sterujących:  
-  $V_{SS} - 0.2V$  do  $V_{DD} + 0.2V$
- temperatura pracy:  
-  $-20^{\circ}C$  do  $+65^{\circ}C$

Sławomir Szczęśniewicz

Opracowano na podstawie:  
Commercial ICs  
1990-1991 Data Book



Rys.5b Schemat wewnętrznej architektury



Rys.7. Szkic rozmieszczenia elementów

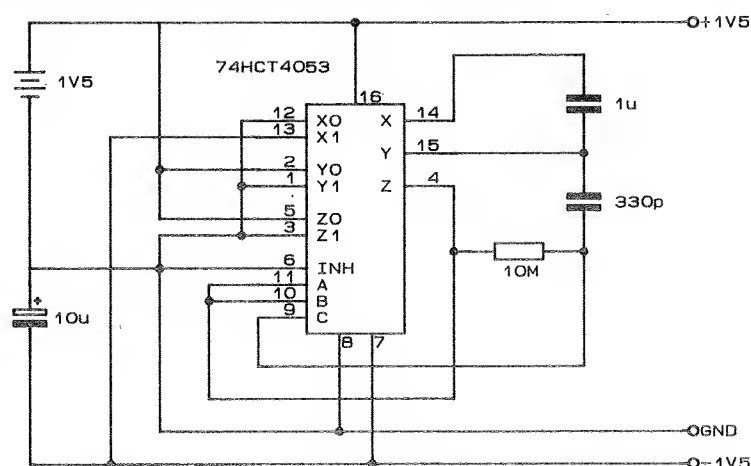
## Przetwornik 1,5V/ $\pm 1,5$ V

Układ z Rys.1 dostarcza symetrycznego napięcia 1,5V przy prądzie spoczynkowym mniejszym od 0,5 $\mu$ A (dla wartości elementów jak na rysunku) i rozpoczyna samodzielną pracę już od 0,9V.

Potrójny dwukanałowy multiplexer analogowy (74HCT4053) pracuje jako pompa ładunkowa i oscylator. Kondensator pompujący C1 jest na przemian ładowany do 1,5V baterii i przeladowywany do ujemnego napięcia kondensatora C3.

Robert Krzysztofek

wg EDN 24/92



Rys. 1

# Katalog tranzystorów b. ZSRR

## (ciąg dalszy)

Tranzystory bipolarne

Tabela 6.2

Tranzystory N-P-N, małej mocy, wysokiej częstotliwości.

| TYP      | I <sub>c</sub><br>mA | U <sub>cer</sub><br>V | U <sub>cb0</sub><br>V | U <sub>eb0</sub><br>V | P <sub>cmax</sub> /T<br>mW/°C | β        | F <sub>gr</sub><br>MHz |
|----------|----------------------|-----------------------|-----------------------|-----------------------|-------------------------------|----------|------------------------|
| 1T303B   | 15                   | 10                    | 12                    | -                     | 100/40                        | 15-30    | 72                     |
| 1T303Г   | 15                   | 10                    | 12                    | -                     | 100/40                        | 30-80    | 72                     |
| 1T303Д   | 15                   | 10                    | 12                    | -                     | 100/40                        | 60-160   | 72                     |
| 2T381Г-1 | 15                   | 25                    | 25                    | 6.5                   | 15/40                         | 20       | -                      |
| 2T336A   | 20                   | 10                    | -                     | 4                     | 50/55                         | 20-60    | 250                    |
| 2T336B   | 20                   | 10                    | -                     | 4                     | 50/55                         | 40-120   | 250                    |
| 2T336B   | 20                   | 10                    | -                     | 4                     | 50/55                         | 80       | 250                    |
| KT336A   | 20                   | 10                    | -                     | 4                     | 50/55                         | 20-60    | 250                    |
| KT336B   | 20                   | 10                    | -                     | 4                     | 50/55                         | 40-120   | 250                    |
| KT336B   | 20                   | 10                    | -                     | 4                     | 50/55                         | 80       | 250                    |
| 2T307A-1 | 20                   | 10                    | 10                    | 4                     | 15/55                         | 20       | 300                    |
| 2T307B-1 | 20                   | 10                    | 10                    | 4                     | 15/55                         | 40       | 300                    |
| 2T307B-1 | 20                   | 10                    | 10                    | 4                     | 15/55                         | 40       | 300                    |
| 2T307Г-1 | 20                   | 10                    | 10                    | 4                     | 15/55                         | 80       | 300                    |
| KT307A-1 | 20                   | 10                    | 10                    | 4                     | 15/55                         | 20       | 250                    |
| KT307B-1 | 20                   | 10                    | 10                    | 4                     | 15/55                         | 40       | 250                    |
| KT307B-1 | 20                   | 10                    | 10                    | 4                     | 15/55                         | 40       | 250                    |
| KT307Г-1 | 20                   | 10                    | 10                    | 4                     | 15/55                         | 80       | 250                    |
| 2T331A-1 | 20                   | 15                    | 15                    | 3                     | 15/85                         | 20-60    | 250                    |
| 2T331B-1 | 20                   | 15                    | 15                    | 3                     | 15/85                         | 40-120   | 250                    |
| 2T331B-1 | 20                   | 15                    | 15                    | 3                     | 15/85                         | 80-220   | 250                    |
| KT331A-1 | 20                   | 15                    | 15                    | 3                     | 15/75                         | 20-60    | 250                    |
| KT331B-1 | 20                   | 15                    | 15                    | 3                     | 15/75                         | 40-120   | 250                    |
| KT331B-1 | 20                   | 15                    | 15                    | 3                     | 15/75                         | 80-220   | 250                    |
| 2T332A-1 | 20                   | 15                    | 15                    | 3                     | 15/85                         | 20-60    | 250                    |
| 2T332B-1 | 20                   | 15                    | 15                    | 3                     | 15/85                         | 40-120   | 250                    |
| 2T332B-1 | 20                   | 15                    | 15                    | 3                     | 15/85                         | 80-220   | 250                    |
| KT332A-1 | 20                   | 15                    | 15                    | 3                     | 15/75                         | 20-60    | 250                    |
| KT332B-1 | 20                   | 15                    | 15                    | 3                     | 15/75                         | 40-120   | 250                    |
| KT332B-1 | 20                   | 15                    | 15                    | 3                     | 15/75                         | 80-220   | 250                    |
| KT359A   | 20                   | 15                    | 15                    | 3.5                   | 15/-                          | 30-90    | 300                    |
| KT359B   | 20                   | 15                    | 15                    | 3.5                   | 15/-                          | 50-150   | 300                    |
| KT359B   | 20                   | 15                    | 15                    | 3.5                   | 15/-                          | 70-280   | 300                    |
| KT339B   | 25                   | 12                    | 25                    | 4                     | 260/50                        | 15       | 250                    |
| KT339A   | 25                   | 25                    | 40                    | 4                     | 260/50                        | 25       | 300                    |
| KT339AM  | 25                   | 25                    | 40                    | 4                     | 260/50                        | 25       | 300                    |
| KT339Г   | 25                   | 25                    | 40                    | 4                     | 260/50                        | 40       | 300                    |
| KT339Д   | 25                   | 25                    | 40                    | 4                     | 260/50                        | 15       | 250                    |
| KT379B   | 30                   | 10                    | -                     | 5                     | 25/25                         | 400-1000 | 300                    |
| KT358A   | 30                   | 15                    | 15                    | 4                     | 100/-                         | 10-100   | 80                     |
| KT358B   | 30                   | 15                    | 15                    | 4                     | 100/-                         | 50-280   | 120                    |
| 2T306A   | 30                   | 10                    | 15                    | 4                     | 150/90                        | 20-60    | 300                    |
| 2T306B   | 30                   | 10                    | 15                    | 4                     | 150/90                        | 20-100   | 300                    |
| KT306A   | 30                   | 10                    | 15                    | 4                     | 150/90                        | 20-60    | 300                    |
| KT306B   | 30                   | 10                    | 15                    | 4                     | 150/90                        | 20-100   | 300                    |
| KT306Д   | 30                   | 10                    | 15                    | 4                     | 150/90                        | 30-150   | 200                    |
| 1TM314A  | 30                   | 15                    | 15                    | 2                     | 50/50                         | 20-50    | -                      |
| 1TM314B  | 30                   | 15                    | 15                    | 2                     | 50/50                         | 30-80    | -                      |
| 1TM314B  | 30                   | 15                    | 15                    | 2                     | 50/50                         | 60-160   | -                      |
| 1TM314Г  | 30                   | 15                    | 15                    | 1                     | 50/50                         | 15-50    | -                      |
| 1TM314Д  | 30                   | 15                    | 15                    | 1                     | 50/50                         | 30-80    | -                      |



| TYP       | Ic<br>mA | U <sub>cer</sub><br>V | U <sub>cb0</sub><br>V | U <sub>eb0</sub><br>V | P <sub>cmax</sub> /T<br>mW/°C | β        | F <sub>gr</sub><br>MHz |
|-----------|----------|-----------------------|-----------------------|-----------------------|-------------------------------|----------|------------------------|
| 1TM314E   | 30       | 15                    | 15                    | 1                     | 50/50                         | 60-160   | -                      |
| KT312A    | 30       | 20                    | 20                    | 4                     | 225/25                        | 10-100   | 80                     |
| KT312B    | 30       | 20                    | 20                    | 4                     | 225/25                        | 50-280   | 120                    |
| KT379B    | 30       | 25                    | -                     | 5                     | 25/25                         | 200-500  | 300                    |
| 2T312A    | 30       | 30                    | 30                    | 4                     | 225/60                        | 12-100   | 80                     |
| 2T312B    | 30       | 30                    | 30                    | 4                     | 225/60                        | 25-100   | 120                    |
| 2T312B    | 30       | 30                    | 30                    | 4                     | 225/60                        | 50-250   | 120                    |
| KT358B    | 30       | 30                    | 30                    | 4                     | 100/-                         | 25-100   | 120                    |
| KT379A    | 30       | 30                    | -                     | 5                     | 25/25                         | 100-250  | 250                    |
| KT312B    | 30       | 35                    | 30                    | 4                     | 225/25                        | 25-100   | 120                    |
| KT379Г    | 30       | 60                    | -                     | 5                     | 25/25                         | 50-125   | 250                    |
| KT342B    | 50       | 10                    | 10                    | -                     | 250/25                        | 100-1000 | 300                    |
| KT373B    | 50       | 10                    | -                     | 5                     | 150/55                        | 500-1000 | 300                    |
| ГТ311A    | 50       | 12                    | 12                    | 2                     | 150/20                        | 15-180   | 300                    |
| ГТ311B    | 50       | 12                    | 12                    | 2                     | 150/20                        | 30-180   | 300                    |
| KT315Ж    | 50       | 15                    | -                     | 6                     | 100/25                        | 30-250   | 150                    |
| KT340A    | 50       | 15                    | 15                    | 5                     | 150/-                         | 100-150  | 300                    |
| KT340B    | 50       | 15                    | 15                    | 5                     | 150/-                         | 35       | 300                    |
| KT340Д    | 50       | 15                    | 15                    | 5                     | 150/-                         | 40       | 300                    |
| KT340Б    | 50       | 20                    | 20                    | 5                     | 150/-                         | 100      | 300                    |
| KT342B    | 50       | 25                    | -                     | 5                     | 250/25                        | 200-500  | 300                    |
| KT373B    | 50       | 25                    | -                     | 5                     | 150/55                        | 200-600  | 300                    |
| KT342A    | 50       | 30                    | -                     | -                     | 250/25                        | 100-250  | 250                    |
| KT373A    | 50       | 30                    | -                     | 5                     | 150/55                        | 100-250  | 250                    |
| KT315И    | 50       | 60                    | -                     | 6                     | 250/25                        | 30       | 250                    |
| KT342Г    | 50       | 60                    | -                     | -                     | 150/55                        | 50-125   | 300                    |
| KT373Г    | 50       | 60                    | -                     | 5                     | 150/55                        | 50-125   | 250                    |
| KT340Г    | 75       | 15                    | 15                    | 5                     | 150/-                         | 16       | 300                    |
| 2T3130Г9  | 100      | 15                    | 20                    | 5                     | 200/25                        | 400-1000 | -                      |
| 2T3130E9  | 100      | 15                    | 20                    | 5                     | 200/25                        | 400-1000 | -                      |
| 2T3130B9  | 100      | 20                    | 30                    | 5                     | 200/25                        | 200-500  | -                      |
| 2T3130Д9  | 100      | 20                    | 30                    | 5                     | 200/25                        | 200-500  | -                      |
| KT315B    | 100      | 20                    | -                     | 6                     | 150/25                        | 50-350   | 250                    |
| KT3102Г   | 100      | 20                    | 20                    | 5                     | 250/25                        | 400-1000 | -                      |
| KT315A    | 100      | 25                    | -                     | 6                     | 150/25                        | 20-90    | 250                    |
| KT375B    | 100      | 30                    | 30                    | 5                     | 200/25                        | 50-280   | 250                    |
| KT3102B   | 100      | 30                    | 30                    | 5                     | 250/25                        | 200-500  | -                      |
| KT3102Д   | 100      | 30                    | 30                    | 5                     | 250/25                        | 200-500  | -                      |
| KT315Г    | 100      | 35                    | -                     | 6                     | 150/25                        | 50-350   | 250                    |
| KT315E    | 100      | 35                    | -                     | 6                     | 150/25                        | 50-350   | 250                    |
| KT315B    | 100      | 40                    | -                     | 6                     | 150/25                        | 20-90    | 250                    |
| KT315Д    | 100      | 40                    | -                     | 6                     | 150/25                        | 20-90    | 250                    |
| 2T3130A9  | 100      | 40                    | 50                    | 5                     | 200/25                        | 100-250  | -                      |
| 2T3130B9  | 100      | 40                    | 50                    | 5                     | 200/25                        | 200-500  | -                      |
| KT3102A   | 100      | 50                    | 50                    | 5                     | 250/25                        | 100-250  | -                      |
| KT3102B   | 100      | 50                    | 50                    | 5                     | 250/25                        | 200-500  | -                      |
| KT3102E   | 100      | 50                    | 50                    | 5                     | 250/25                        | 400-1000 | -                      |
| KT375A    | 100      | 60                    | 60                    | 5                     | 200/25                        | 10-100   | 250                    |
| KT369A    | 250      | 45                    | 45                    | 4                     | 50/-                          | 20-100   | 200                    |
| KT369A-1  | 250      | 45                    | 45                    | 4                     | 50/-                          | 20-100   | 200                    |
| KT369B    | 250      | 45                    | 45                    | 4                     | 50/-                          | 40-200   | 200                    |
| KT369B-1  | 250      | 45                    | 45                    | 4                     | 50/-                          | 40-200   | 200                    |
| KT369B    | 250      | 65                    | 65                    | 4                     | 50/-                          | 20-100   | 200                    |
| KT369B-1  | 250      | 65                    | 65                    | 4                     | 50/-                          | 20-100   | 200                    |
| KT369Г    | 250      | 65                    | 65                    | 4                     | 50/-                          | 40-200   | 200                    |
| KT369Г-1  | 250      | 65                    | 65                    | 4                     | 50/-                          | 40-200   | 200                    |
| 2T377A-2  | 300      | 30                    | 30                    | 3                     | 50/25                         | 20-80    | 200                    |
| 2T377B-2  | 300      | 30                    | 30                    | 3                     | 50/25                         | 50-120   | 200                    |
| 2T377B-2  | 300      | 30                    | 30                    | 3                     | 50/25                         | 80-220   | 200                    |
| 2T377A1-2 | 300      | 30                    | 30                    | 3                     | 50/25                         | 20-80    | 200                    |
| 2T377B1-2 | 300      | 30                    | 30                    | 3                     | 50/25                         | 50-120   | 200                    |
| 2T377B1-2 | 300      | 30                    | 30                    | 3                     | 50/25                         | 80-220   | 200                    |
| 2T385A-2  | 300      | 40                    | 60                    | 5                     | 300/100                       | 30-150   | 200                    |

| TYP       | Ic<br>mA | U <sub>cer</sub><br>V | U <sub>cb0</sub><br>V | U <sub>eb0</sub><br>V | P <sub>cmax</sub> /T<br>mW/°C | β       | F <sub>gr</sub><br>MHz |
|-----------|----------|-----------------------|-----------------------|-----------------------|-------------------------------|---------|------------------------|
| 2T385AM-2 | 300      | 40                    | 60                    | 5                     | 300/100                       | 30-150  | 200                    |
| 2T385A9   | 300      | 40                    | 60                    | 5                     | 300/45                        | 40-150  | 200                    |
| KT385A    | 300      | 40                    | 60                    | 4                     | 300/70                        | 20-200  | 200                    |
| KT385AM   | 300      | 40                    | 60                    | 4                     | 300/70                        | 20-220  | 200                    |
| KT616A    | 400      | 20                    | 20                    | 4                     | 300/25                        | 40      | -                      |
| KT616B    | 400      | 20                    | 20                    | 4                     | 300/25                        | 25      | -                      |
| KT3117A   | 400      | 50                    | 60                    | 4                     | 300/35                        | 40-200  | 200                    |
| 2T378A-2  | 400      | 60                    | 60                    | 4                     | 50/25                         | 20-80   | 200                    |
| 2T378B-2  | 400      | 60                    | 60                    | 4                     | 50/25                         | 50-180  | 200                    |
| 2T378A1-2 | 400      | 60                    | 60                    | 4                     | 50/25                         | 20-80   | 200                    |
| 2T378B1-2 | 400      | 60                    | 60                    | 4                     | 50/25                         | 50-180  | 200                    |
| 2T3117A   | 400      | 60                    | 60                    | 4                     | 300/25                        | 40-200  | 200                    |
| 2T3117B   | 400      | 75                    | 75                    | 4                     | 300/40                        | 100-300 | 250                    |

Witold Wrotek

c.d.n.

## DLA PROFESJONALISTÓW I AMATORÓW!

# KATALOG HCT

## PARAMETRY I WYBRANE APLIKACJE

Katalog cyfrowych układów scalonych CMOS (AC, ACT, C, HC, HCT, HCU) produkowanych przez 39-ciu światowych potentatów w tej dziedzinie m.in.: Advanced Micro Devices Inc., Hitachi Ltd., Intel Group, Motorola Semiconductor Products, NEC, autorstwa mgr inż. Witolda Wrotka, to ponad 500 stron z danymi technicznymi, zastosowaniem układów i przykładami współpracy z układami innych typów.

**Katalog HCT do nabycia w księgarniach:**

- Warszawa, ul. Mokotowska 51/53 tel/fax: (0-2) 628-16-14
- Łódź, ul. Piotrkowska 39 tel/fax: (0-42) 32-51-64
- Wrocław, ul. Św. Mikołaja 51/53 tel/fax: (0-71) 44-84-34

w księgarniach na terenie kraju

lub bezpośrednio w redakcji „Nowego Elektronika” (adres w stopce).

Redakcja prowadzi także sprzedaż za zaliczeniem pocztowym.

**Cena 120.000 zł + koszty wysyłki.**

**NAKŁAD OGRANICZONY**

Witold Wrotek

# KATALOG HCT

## PARAMETRY I WYBRANE APLIKACJE

## Bezpłatna giełda

Od tego numeru rozpoczynamy bezpłatną giełdę dla czytelników „Nowego Elektronika”

1. Treść ogłoszeń musi dotyczyć elektroniki, szukam – dam pracę elektronikom
2. Ogłoszenia przyjmowane będą tylko na kuponach zamieszczonych w „Nowym Elektroniku”
3. Kupon należy wypełnić pismem drukowanym jednolitym litera w jednej kratce
4. Ogłoszenie ukaże się w najbliższym wydaniu „Nowego Elektronika”

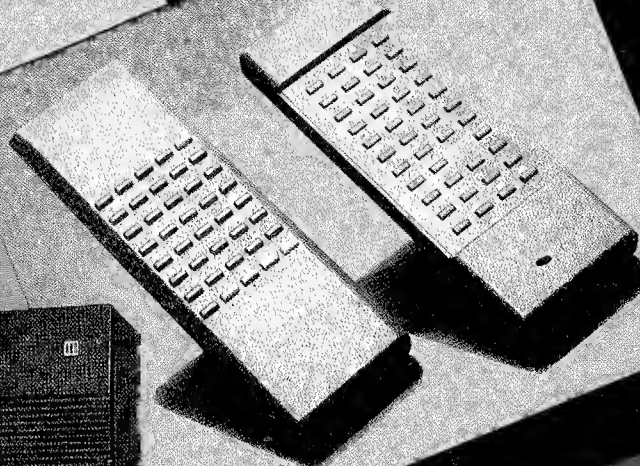
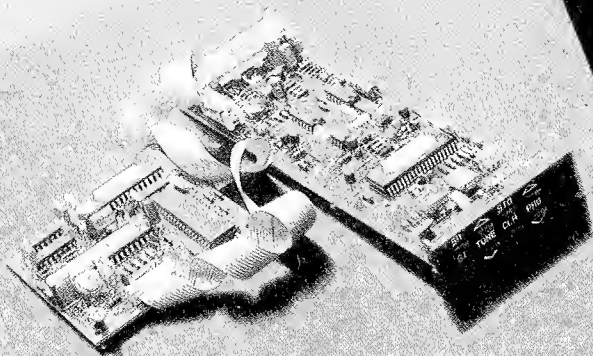
# ELEKTRONIK

Treść ogłoszenia w "Bezpłatnej Giełdzie"

Handwriting practice paper with five rows of horizontal lines and vertical tick marks. The first row has the number '1' written in the second column.



# proelco



## oferuje:

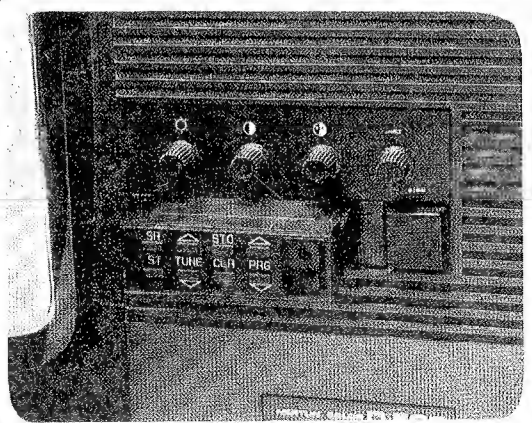
- zdalnie sterowanie z OSD
- kable i odbiorniki w polskich i zagranicznych
- piloty
- dekodery telegazety
- dekodery PAL
- transkodery SECAM/PAL
- konwertery linii 5,5/5,5 MHz i odwrotnie
- moduły linii słownościowych
- konwertery LKF w obu kierunkach bez utraty danych
- wejścia audio-wideo
- produkcja lektur i filmów

## Do nas zawsze blisko

Gdańsk "Vaj-Electronic" ul. Władysława 13 tel. 522851, Gdańsk "Unitorg" ul. Gen. Hallera 167 tel. 410866  
 Gdynia "Jolita" PHU ul. Artyści 71 tel. 4452, Gdynia "Kaj" PHU ul. Warszawska 38 tel. 216481  
 Gdynia "Marsz" PHU ul. Słowackiego 17 tel. 331, Bielsko B. "Dag" S.C. ul. Partyzantów 13 tel. 20252  
 Bydgoszcz "Elektron" ul. Słowackiego 21 tel. 225205, Częstochowa "T.P. Komator" ul. ZWM 26 tel. 30706  
 Gniezno "C-Electronic" ul. Dłuszyńskiego 7 tel. 3454, Katowice "Vaj-Electronic" ul. Plebiscytowa 9 tel. 514020  
 Kwidzyn "Techtronik" ul. Tęczowa 1 tel. 3780, 127, Kraków "Elektronik-Land" ul. Królowej Jadwigi 29 tel. 672234  
 Łódź "Hoffpol" ul. Żuli Pacanowskiej 8 tel. 571233, Poznań "A-V-S" ul. 28 cz. 1956 r. 164 tel. 330295  
 Poznań "Hobby-Elektronik" ul. Siemiradzkiego 11 tel. 659763, Rybnik "Elektron" ul. Prosta 29 tel. 22651  
 Słupsk "Soar-Electronics" ul. Przemysłowa 100 tel. 28935, Szczecin "Electrum" ul. Szybowcowa 113 tel. 601548  
 Tarnów "Elbik" PHU ul. Nowy Świat 37 tel. 340723, Warszawa "Telzet" ul. Emilii Plater 9/11 tel. 6288173  
 "Proelco" Giełda - Warszawa Wolumen sob. i niedz., Warszawa "Zbyromex" S.C. ul. Wolumen 53  
 Zielona Góra "HDK" ul. Kupiecka 95 tel. 61511, Złotów "Wszystko dla Ciebie" ul. Cechowa 18 tel. 3738

## twój sukces do dobry partner

ZAPRASZAMY DO WSPÓŁPRACY ZAKŁADY USŁUGOWE I HANDLOWE  
 SPRZEDAŻ HURTOWA I DETALICZNA, SPRZEDAŻ WYSYŁKOWA



NOWY ADRES: PL-83 000 Pruszcz Gdański ul. Batalionów Chłopskich 1 POLAND  
**proelco** tel:(058) 822053, 822054, 822055 fax:822056 tlx:0512448 pec pl